

# Indice

<b>Introduzione</b>	<b>iii</b>
<b>1 Il principio di Fermat</b>	<b>1</b>
1.1 Il principio di Fermat . . . . .	1
1.2 Il problema dei dati al contorno . . . . .	8
1.3 Analogie con la meccanica classica . . . . .	10
1.4 Da Fermat a Feynman . . . . .	11
<b>2 Ottica Hamiltoniana</b>	<b>13</b>
2.1 Formulazione Hamiltoniana dell' ottica geometrica . . . . .	13
2.2 Funzioni principali di Hamilton . . . . .	14
2.3 Simmetria assiale di un sistema ottico . . . . .	18
2.4 L' invariante ottico di Lagrange . . . . .	19
2.5 Superfici sferiche, nuovi invarianti ottici . . . . .	21
2.6 Trasformazioni degli invarianti di rotazione attraverso un sistema ottico centrato . . . . .	22
<b>3 Ottica Gaussiana</b>	<b>25</b>
3.1 Introduzione . . . . .	25
3.2 Approssimazione parassiale per i sistemi ottici centrati . . . . .	26
3.3 Trasformazioni tra i piani base nell' ottica Gaussiana . . . . .	28
3.4 Fuochi e punti nodali di un sistema ottico . . . . .	29
3.5 La relazione di Huygens . . . . .	31
3.6 La funzione angolare di una superficie nel limite dell' ottica Gaussiana . . . . .	31
3.7 La funzione angolare di un sistema ottico composto . . . . .	33
3.8 Vignettatura . . . . .	35
3.9 Sfocatura e profondità di campo . . . . .	36
<b>4 Le aberrazioni dei sistemi ottici centrati</b>	<b>38</b>
4.1 Definizioni e prime proprietà . . . . .	38

4.2	Le variabili di von Seidel . . . . .	40
4.3	L' iconale di Schwarzschild . . . . .	41
4.4	Il teorema di addizione delle aberrazioni del terzo ordine . . . . .	42
4.5	Sviluppo al quarto ordine della funzione angolare . . . . .	44
4.6	I coefficienti di aberrazione del terzo ordine . . . . .	45
4.7	Il significato dei coefficienti di aberrazione . . . . .	47
4.8	Le aberrazioni del quinto ordine . . . . .	51
<b>5</b>	<b>La teoria delle aberrazioni per mezzo delle equazioni di Hamilton</b>	<b>53</b>
5.1	L' ottica al primo ordine per un sistema ottico centrato . . . . .	53
5.2	L'invariante di Lagrange per i raggi assiale e di campo . . . . .	56
5.3	Le aberrazioni del terzo ordine. Vantaggi dell' uso delle equa- zioni di Hamilton . . . . .	56
5.4	Le aberrazioni del terzo ordine. Derivazione . . . . .	57
5.5	Calcolo dei coefficienti del terzo ordine . . . . .	62
5.6	Le aberrazioni del quinto ordine . . . . .	64
<b>6</b>	<b>Esempi di applicazioni della teoria</b>	<b>67</b>
6.1	Il telescopio Newtoniano . . . . .	67
6.2	La camera di Schmidt . . . . .	69
<b>7</b>	<b>Conclusioni</b>	<b>71</b>

# Introduzione

Lo scopo di questa tesi fornire una panoramica dell'ottica geometrica affrontando alcuni aspetti salienti della disciplina. In particolare l'attenzione viene rivolta allo studio dei sistemi ottici centrati che costituiscono l'oggetto principale d'indagine di questo lavoro.

Nel primo capitolo, seguendo l'impostazione ormai tipica della fisica teorica moderna, si pensi alla teoria dei campi quantizzati, le leggi che regolano l'ottica geometrica sono fatte discendere da un principio variazionale, il principio di Fermat. Il principio è formulato nel caso di superfici di discontinuità per l'indice di rifrazione  $N(\mathbf{x})$ . Viene trattato il problema dei dati al contorno, e vengono presentate le analogie con la meccanica classica. Viene data anche la chiave di lettura dei principi variazionali della fisica classica, attraverso una delle più belle teorie concepite dalla fisica del novecento, gli integrali sui cammini di Feynman.

Il secondo capitolo presenta il passaggio dal formalismo di Lagrange a quello di Hamilton, il più adatto a trattare questo tipo di problemi; si introducono le funzioni principali di Hamilton che costituiscono la base della teoria delle aberrazioni che verrà presentata nei successivi capitoli. Si indagano le conseguenze della simmetria assiale dei sistemi ottici, viene presentato l'invariante ottico di Lagrange, e nel caso notevole in cui le superfici ottiche presentino simmetria sferica, si ricava l'espressione di due nuovi invarianti ottici, sconosciuti in letteratura. Sono presentati i cosiddetti invarianti di rotazione, e lo studio delle loro trasformazioni in un sistema ottico centrato.

Il capitolo tre è dedicato allo sviluppo dell'ottica Gaussiana attraverso l'uso delle funzioni principali di Hamilton ed alla definizioni delle grandezze che caratterizzano un sistema ottico a quest'ordine di approssimazione. Viene presentata un'analisi delle aberrazioni del primo ordine.

Il capitolo quarto, dopo una prima analisi che permette di comprendere le prime proprietà delle aberrazioni del terzo ordine, presenta la teoria così come sviluppata da Petzval, von Seidel e Schwarzschild, che conduce alle formule che esprimono i cinque coefficienti di aberrazione. Viene esposto il significato fisico dei coefficienti di aberrazione del terzo e del quinto ordine.

L'uso delle funzioni principali è abbandonato nel quinto capitolo a favore delle più semplici equazioni di Hamilton. Seguendo la strada percorsa da R. K. Luneburg, in modo semplice ed intuitivo, vengono ricostruite l'ottica del primo ordine ed è dato un approccio alternativo per il calcolo dei coefficienti del terzo ordine. Il procedimento consiste nel supporre l'indice di rifrazione continuo, calcolare i coefficienti di aberrazione per questa situazione fisica e nel passare poi al limite per i consueti sistemi che presentano indice di rifrazione costante a tratti. Le formule di Luneburg vengono ricavate in una situazione generalizzata in cui possono essere presenti superfici asferiche o riflettenti. Vengono anche proposte le formule integrali punto di partenza per il calcolo delle aberrazioni del quinto ordine.

Nel sesto capitolo si verificano le relazioni ricavate in precedenza per l'analisi di alcuni sistemi telescopici che presentano superfici asferiche e riflettenti: il telescopio Newtoniano e la camera di Schmidt. I risultati ottenuti concordano con quelli presenti in letteratura, e con programmi di simulazione numerica.

## **Ringraziamenti**

Colgo questa occasione per ringraziare tutti coloro che in questi anni mi hanno supportato e, soprattutto, sopportato. Un abbraccio va a mio fratello Alessandro e a Tiziana per l'ospitalità che mi hanno concesso nei periodi bui; a mia madre Dora per avermi insegnato a cucinare la pasta alla siciliana; a Manuela per avermi fatto fare l'esame di Esp.II; a Ciro perché rimane interista; ai ragazzi dell'auletta perché sono ottimi compagni di tresette; a Biagio per avermi spronato quando non riuscivo più a studiare; al SPSF folle speranza della mia terra. Un ringraziamento particolare va al mio relatore il Prof. Antonio Romano per essere riuscito a condurmi in porto nonostante remassi contro. Un bacio lungo un anno a Floriana.



# Capitolo 1

## Il principio di Fermat

### 1.1 Il principio di Fermat

Si consideri la propagazione di un' onda elettromagnetica monocromatica in un mezzo isotropo e non omogeneo  $\Sigma$ . Se la lunghezza d' onda della luce è trascurabile rispetto alle dimensioni della regione in cui si propaga e degli ostacoli interposti, la propagazione della luce può essere descritta da **raggi luminosi**.

**Definizione 1** *Quando la luce si propaga in un mezzo isotropo, le traiettorie ortogonali ai fronti d'onda vengono dette **raggi luminosi**.*

In seguito si supporrà che l' indice di rifrazione  $N(\mathbf{x})$  sia una funzione continua e sufficientemente regolare del vettore posizione  $\mathbf{x} \in \Sigma$ , fatta eccezione per un numero finito di superfici  $S_n$   $n = 1, \dots, l$  sulle quali  $N(\mathbf{x})$  ha discontinuità finite.

**Definizione 2** *Si definisce la **lunghezza del cammino ottico** lungo una curva  $\gamma_0$*

$$OPL(\gamma_0) = \int_{\gamma_0} N(\mathbf{x}) ds \quad (1.1)$$

Se  $\gamma_0$  è un raggio luminoso, indicando con  $v$  la velocità della luce nel mezzo  $\Sigma$ , avremo

$$N ds = \frac{c}{v} ds = c dt \quad (1.2)$$

di conseguenza la lunghezza del cammino ottico *lungo un raggio* è proporzionale al tempo di propagazione lungo  $\gamma_0$ .

Formuliamo ora il seguente

**Principio di Fermat :** *lungo un raggio luminoso dal punto  $\bar{\mathbf{x}}$  al punto  $\bar{\mathbf{x}}'$ , la lunghezza del cammino ottico è un estremo rispetto a tutte le lunghezze dei cammini ottici corrispondenti a qualunque altro cammino tra i punti in esame.*

Si pongono immediatamente alcune fondamentali domande:

1. Come determinare il raggio  $\gamma_0$  dopo che siano stati assegnati i due estremi e l'indice di rifrazione?
2. Come trattare le discontinuità nel principio di Fermat?

Il principio di Fermat costituisce uno dei primi principi variazionali della fisica, una categoria di problemi che caratterizza l'incognita del problema (il raggio luminoso in questo caso) richiedendo che un'espressione integrale abbia come estremo proprio la nostra incognita. Si arriva così ad un problema differente da un consueto problema di Cauchy, per il quale esiste il ben noto teorema di esistenza ed unicità della soluzione.

Si inizi col caratterizzare gli estremali del nostro funzionale. In primo luogo ogni cammino tra  $\bar{\mathbf{x}}$  ed  $\bar{\mathbf{x}}'$  è una curva  $\gamma$  che ha questi punti come estremi. Introdotto un sistema di riferimento cartesiano di coordinate  $(x_i)$   $i = 1, 2, 3$ , una curva  $\gamma$  è rappresentata da una terna di equazioni  $x_i = f_i(t)$   $t \in [a, a']$ , i punti  $\bar{\mathbf{x}}$  e  $\bar{\mathbf{x}}'$  saranno gli estremi di  $\gamma$  imponendo che si abbia

$$f_i(a) = \bar{x}_i \quad f_i(a') = \bar{x}'_i \quad (1.3)$$

In particolare si indicheranno le equazioni parametriche del raggio  $\gamma_0$  tra  $\bar{\mathbf{x}}$  e  $\bar{\mathbf{x}}'$ , ossia del cammino ottico *effettivo* con le funzioni  $x_i(t)$ ,  $i = 1, 2, 3$ , che verificano le condizioni 1.3. Il passo successivo sarà quello di cercare un'espressione di  $OPL(\gamma)$  che soddisfi le 1.3 per ogni cammino e che ci permetta di individuare i suoi estremali. Si può scrivere

$$ds = \sqrt{\sum_{i=1}^3 \dot{f}_i^2} dt \quad (1.4)$$

dove  $\dot{f} = \frac{df}{dt}$ . Si può ora esprimere  $OPL(\gamma)$  per un cammino qualunque tra gli estremi  $\bar{\mathbf{x}}$  e  $\bar{\mathbf{x}}'$ :

$$OPL(\gamma) = \int_{\gamma} N(\mathbf{x}) \sqrt{\sum_{i=1}^3 \dot{f}_i^2} dt \quad (1.5)$$

Si deve ora far variare la curva  $f_i$ , consideriamo la famiglia di curve ad un parametro  $\Gamma$  con estremi fissati  $\bar{\mathbf{x}}$  e  $\bar{\mathbf{x}}'$  e cui appartiene  $\gamma_0$

$$x_i = f_i(t, \varepsilon) \quad \forall t \in [a, a'] \quad i = 1, 2, 3, \quad (1.6)$$



dove

$$f_i(a, \varepsilon) = \bar{x}_i, \quad f_i(a', \varepsilon) = \bar{x}'_i, \quad \forall \varepsilon \in (-\delta, \delta) \quad f_i(t, 0) = x_i(t) \quad (1.7)$$

e  $(-\delta, \delta)$  è un intorno del valore  $\varepsilon = 0$ , il parametro  $t$  ci farà muovere lungo la curva, mentre  $\varepsilon$  seleziona una delle curve di  $\Gamma$ .  $OPL$  dipende quindi dal valore di  $\varepsilon$ , come si vede dalla seguente formula che è ottenuta dalla 1.5 quando si impone  $\gamma \in \Gamma$

$$OPL(\varepsilon) = \int_a^{a'} N(\mathbf{x}) \sqrt{\sum_{i=1}^3 \dot{f}_i^2(t, \varepsilon)} dt. \quad (1.8)$$

Si può riformulare il principio di Fermat nel modo seguente: determinare sotto quali condizioni la funzione  $OPL(\varepsilon)$  ha un estremo per  $\varepsilon = 0$  per una qualunque scelta della famiglia di cammini che verificano le 1.3. Una condizione necessaria è

$$OPL'(\varepsilon) = 0 \quad (1.9)$$

per una qualunque scelta di  $\Gamma$ . Dovremo quindi:

1. calcolare la derivata prima di  $OPL(\varepsilon)$  in  $\varepsilon = 0$ ;
2. determinare sotto quali condizioni si annulla per ogni scelta di  $\Gamma$ ;
3. verificare che queste condizioni determinano  $\gamma_0$ ;
4. controllare che  $\varepsilon = 0$  sia un punto di estremo per  $OPL(\varepsilon)$ .

Conviene considerare una situazione più generale in vista di futuri sviluppi in modo da non ripetere calcoli dello stesso tipo. Più precisamente, conviene considerare la derivata della seguente funzione

$$I(\varepsilon) = \int_{t_1(\varepsilon)}^{t_2(\varepsilon)} N(\mathbf{x}) \sqrt{\sum_{i=1}^3 \dot{f}_i^2(t, \varepsilon)} dt \quad (1.10)$$

e si definisce la famiglia di curve  $\Delta$  verifica le seguenti proprietà

$$x_i = f_i(t, \varepsilon) \quad \forall t \in [t_1(\varepsilon), t_2(\varepsilon)] \quad i = 1, 2, 3, \quad (1.11a)$$

$$f_i(t_1(0), 0) = \bar{x}_i, \quad f_i(t_2(0), 0) = \bar{x}'_i, \quad \forall \varepsilon \in (-\delta, \delta) \quad (1.11b)$$

$f_i(t, 0) = x_i(t)$  dove  $(-\delta, \delta)$  è un intorno di zero, a differenza di  $\Gamma$  dove gli estremi delle curve erano fissati, si è preferito considerare estremi variabili al variare di  $\varepsilon$ ,  $\Delta$  si riduce a  $\Gamma$ , e  $I(\varepsilon)$  si riduce a  $OPL(\varepsilon)$ , se

$$t_1(\varepsilon) = a \quad t_2(\varepsilon) = a' \quad \forall \varepsilon \in (-\delta, \delta) \quad (1.12)$$

prima di determinare  $I'(\varepsilon)$  e valutarla per  $\varepsilon = 0$ , è importante osservare che le coordinate degli estremi delle curve  $\gamma \in \Delta$  sono

$$f_i(t_1(\varepsilon), \varepsilon), \quad f_i(t_2(\varepsilon), \varepsilon)$$

cosicché, andando dal raggio  $\gamma_0$ , corrispondente al valore  $\varepsilon = 0$ , ad una curva vicina  $\gamma$  corrispondente al valore  $d\varepsilon$  di  $\varepsilon$ , le coordinate degli estremi variano secondo le relazioni

$$d\bar{x}_i = \left( \dot{x}_i \frac{dt_1}{d\varepsilon} + \frac{\partial f_i}{\partial \varepsilon} \right)_{\varepsilon=0} d\varepsilon, \quad d\bar{x}'_i = \left( \dot{x}_i \frac{dt_2}{d\varepsilon} + \frac{\partial f_i}{\partial \varepsilon} \right)_{\varepsilon=0} d\varepsilon. \quad (1.13)$$

L'indice di rifrazione ha discontinuità finite sulle superfici  $S_i$ ,  $i = 1, \dots, n$ , che sono le superfici del sistema ottico in considerazione. Per semplicità nel seguito si supporrà che vi sia una sola superficie di discontinuità, di conseguenza dobbiamo ipotizzare che anche le funzioni  $f_i(t, \varepsilon)$  possano avere derivate prime discontinue, ossia che il vettore tangente alle curve possa cambiare bruscamente direzione attraversando  $S$ . Sia  $F(\mathbf{x}) = 0$  l'equazione implicita della superficie  $S$ , la discontinuità deve essere localizzata nel punto di intersezione della curva di  $\Delta$  con  $S$ . Per determinare il luogo  $\varphi$  di questi punti, si deve verificare che l'equazione

$$F(f_i(t, \varepsilon)) = 0 \quad (1.14)$$

definisca implicitamente una funzione  $t = \psi(\varepsilon)$  che da il valore di  $t$  corrispondente al punto di intersezione  $P$  tra  $\gamma$  ed  $S$ . Infatti la condizione del Dini

$$\frac{\partial}{\partial t} F(f_i(t, \varepsilon)) \neq 0, \quad (1.15)$$

si scrive

$$\frac{\partial F}{\partial x_i} \frac{\partial f}{\partial t} \neq 0 \quad (1.16)$$

o, equivalentemente

$$\mathbf{n} \cdot \mathbf{t} \neq 0 \quad (1.17)$$

dove  $\mathbf{n} = \nabla F / |\nabla F|$  è il vettore unitario normale interno ad  $S$  e  $\mathbf{t}$  il vettore tangente unitario a  $\gamma$  in  $P$ . Allora, se  $\gamma$  non è tangente ad  $S$  in  $P$ , la 1.14 definisce implicitamente una funzione  $t = \psi(\varepsilon)$  e il luogo dei punti  $\varphi$  è una curva e la cui equazione parametrica risulta essere

$$\phi_i(\varepsilon) = f_i(\psi(\varepsilon), \varepsilon), \quad (1.18)$$

dove

$$F(\phi_i(\varepsilon)) = F(f_i(\psi(\varepsilon), \varepsilon)) = 0. \quad (1.19)$$

Rispettando la continuità delle curve di  $\Delta$  nell'attraversare  $S$ ,  $\phi(\varepsilon)$  è supposta essere una curva regolare. Differenziando la 1.19 rispetto ad  $\varepsilon$  e tenendo conto della 1.18 otteniamo le seguenti due condizioni

$$n_i \left( \frac{\partial f_i}{\partial t} \frac{\partial \psi}{\partial \varepsilon} + \frac{\partial f_i}{\partial \varepsilon} \right)^- \equiv n_i \xi_i^- \quad (1.20)$$

$$n_i \left( \frac{\partial f_i}{\partial t} \frac{\partial \psi}{\partial \varepsilon} + \frac{\partial f_i}{\partial \varepsilon} \right)^+ \equiv n_i \xi_i^+ \quad (1.21)$$

dove la somma sull'indice  $i$  è sottintesa e con la notazione  $(\dots)^+$  e  $(\dots)^-$  si sono indicati i limiti destro e sinistro. Inoltre la regolarità di  $\phi(\varepsilon)$  implica

$$\phi'(\varepsilon) = \left( \frac{\partial f_i}{\partial t} \frac{\partial \psi}{\partial \varepsilon} + \frac{\partial f_i}{\partial \varepsilon} \right)^- = \left( \frac{\partial f_i}{\partial t} \frac{\partial \psi}{\partial \varepsilon} + \frac{\partial f_i}{\partial \varepsilon} \right)^+ \quad (1.22)$$

possiamo quindi scrivere

$$\xi_i^- = \xi_i^+. \quad (1.23)$$

Nel seguito indicheremo il salto di ogni grandezza sulla superficie  $S$  con

$$[[a]] = a^+ - a^- \quad (1.24)$$

Si è ora in grado di valutare la derivata  $I'(0)$ . Si ha

$$I'(\varepsilon) = \int_{t_1(\varepsilon)}^{\psi(\varepsilon)} L(f_i(t, \varepsilon), \dot{f}(t, \varepsilon)) dt + \int_{\psi(\varepsilon)}^{t_2(\varepsilon)} L(f_i(t, \varepsilon), \dot{f}(t, \varepsilon)) dt, \quad (1.25)$$

dove si è posto

$$L = N(\mathbf{x}) \sqrt{\sum_{i=1}^3 (\dot{f})^2}. \quad (1.26)$$

Applicando una ben nota formula di derivazione di un integrale, la precedente derivata si scrive

$$\begin{aligned} \frac{dI}{d\varepsilon}(0) &= L(\bar{x}'_i, \dot{x}_i(a')) t'_2(0) - L(\bar{x}_i, \dot{x}_i(a)) t'_1(0) + \\ &+ \int_a^{\psi(0)} \left[ \frac{\partial L}{\partial x_i} \frac{\partial f_i}{\partial \varepsilon} + \frac{\partial L}{\partial \dot{x}_i} \frac{d}{dt} \left( \frac{\partial f_i}{\partial \varepsilon} \right) \right] dt + \int_{\psi(0)}^{a'} \left[ \frac{\partial L}{\partial x_i} \frac{\partial f_i}{\partial \varepsilon} + \frac{\partial L}{\partial \dot{x}_i} \frac{d}{dt} \left( \frac{\partial f_i}{\partial \varepsilon} \right) \right] dt - [[L]] \psi'(0), \end{aligned} \quad (1.27)$$

dove tutte le quantità del secondo membro sono valutate ad  $\varepsilon = 0$ . Integrando per parti il secondo addendo in ogni integrale, si ottiene

$$\begin{aligned} \frac{dI}{d\varepsilon}(0) &= L(\bar{x}'_i, \dot{x}_i(a')) t'_2(0) - L(\bar{x}_i, \dot{x}_i(a)) t'_1(0) + \\ &\int_a^{a'} \left[ \frac{\partial L}{\partial x_i} - \frac{d}{dt} \frac{\partial L}{\partial \dot{x}_i} \right] \frac{\partial f_i}{\partial \varepsilon} dt + \left[ \frac{\partial L}{\partial \dot{x}_i} \frac{\partial f_i}{\partial \varepsilon} \right]_a^{\psi(0)} + \left[ \frac{\partial L}{\partial \dot{x}_i} \frac{\partial f_i}{\partial \varepsilon} \right]_{\psi(0)}^{a'} - [[L]] \psi'(0), \end{aligned} \quad (1.28)$$

possiamo quindi scrivere

$$\begin{aligned} \frac{dI}{d\varepsilon} &= - \left( \frac{\partial L}{\partial \dot{x}_i} - L \right)_{a'} t'_2(0) + \left( \frac{\partial L}{\partial \dot{x}_i} \dot{x}_i - L \right)_a t'_1(0) + \int_a^{a'} \left( \frac{\partial L}{\partial x_i} - \frac{d}{dt} \frac{\partial L}{\partial \dot{x}_i} \right) \frac{\partial f_i}{\partial \varepsilon} dt + \\ &\left( \frac{\partial L}{\partial \dot{x}_i} \left( \frac{\partial f_i}{\partial \varepsilon} + \dot{x}_i t'_2 \right) \right)_{a'} - \left( \frac{\partial L}{\partial \dot{x}_i} \left( \frac{\partial f_i}{\partial \varepsilon} + \dot{x}_i t'_1 \right) \right)_a - \left[ \left[ \frac{\partial L}{\partial \dot{x}_i} \frac{\partial f_i}{\partial \varepsilon} \right] \right]_{\psi(0)} - [[L]] \psi'(0). \end{aligned} \quad (1.29)$$

Infine ricordando le 1.20,1.22 si ottiene

$$\begin{aligned} \frac{dI}{d\varepsilon} &= - \left( \frac{\partial L}{\partial \dot{x}_i} - L \right)_{a'} t'_2(0) + \left( \frac{\partial L}{\partial \dot{x}_i} \dot{x}_i - L \right)_a t'_1(0) + \\ &\int_a^{a'} \left( \frac{\partial L}{\partial x_i} - \frac{d}{dt} \frac{\partial L}{\partial \dot{x}_i} \right) \frac{\partial f_i}{\partial \varepsilon} dt + \left( \frac{\partial L}{\partial \dot{x}_i} \right)_{a'} \frac{d\bar{x}'_i}{d\varepsilon} - \left( \frac{\partial L}{\partial \dot{x}_i} \right)_a \frac{d\bar{x}_i}{d\varepsilon} - \\ &\left[ \left[ \frac{\partial L}{\partial \dot{x}_i} \left( \frac{\partial x_i}{\partial \varepsilon} + \dot{x}_i \psi'(0) \right) \right] \right]_{\psi(0)} - \left[ \left[ L - \frac{\partial L}{\partial \dot{x}_i} \dot{x}_i \right] \right]_{\psi(0)} \psi'(0). \end{aligned}$$

Poiché  $L$  è una funzione omogenea del primo grado nella variabile  $\dot{x}_i$ , si ha

$$L - \frac{\partial L}{\partial \dot{x}_i} \dot{x}_i = 0, \quad (1.30)$$

e l'espressione precedente si riscrive come

$$\begin{aligned} \frac{dI}{d\varepsilon} &= \int_a^{a'} \left( \frac{\partial L}{\partial x_i} - \frac{d}{dt} \frac{\partial L}{\partial \dot{x}_i} \right) \frac{\partial f_i}{\partial \varepsilon} dt + \left( \frac{\partial L}{\partial \dot{x}_i} \right)_{a'} \frac{d\bar{x}'_i}{d\varepsilon} - \left( \frac{\partial L}{\partial \dot{x}_i} \right)_a \frac{d\bar{x}_i}{d\varepsilon} \\ &- \left[ \left[ \frac{\partial L}{\partial \dot{x}_i} \left( \frac{\partial x_i}{\partial \varepsilon} + \dot{x}_i \psi'(0) \right) \right] \right]_{\psi(0)} \end{aligned}$$

Per applicare il principio di Fermat a quest'ultima espressione deve essere imposto che tutte le curve abbiano gli stessi estremi, applicando le 1.20, 1.22 per  $\varepsilon = 0$ , si ha la seguente equazione

$$\frac{dI}{d\varepsilon} = \int_a^{a'} \left( \frac{\partial L}{\partial x_i} - \frac{d}{dt} \frac{\partial L}{\partial \dot{x}_i} \right) \frac{\partial f_i}{\partial \varepsilon} dt + \left[ \left[ \frac{\partial L}{\partial \dot{x}_i} \right] \right]_{\psi(0)} \xi_i \quad (1.32)$$

con

$$\xi_i = \left( \frac{\partial x_i}{\partial \varepsilon} + \dot{x}_i \psi'(0) \right)_{\psi(0)}. \quad (1.33)$$

Il principio di Fermat richiede che la derivata di  $OPL$  si annulli per qualunque scelta delle  $(\partial x_i / \partial \varepsilon)_{\psi(0)}$  e  $\xi_i$ , tali che

$$\xi_i n_i = 0 \quad (1.34)$$

possiamo riscrivere le 1.32,

$$\frac{\partial L}{\partial x_i} - \frac{d}{dt} \frac{\partial L}{\partial \dot{x}_i} = 0 \quad (1.35)$$

$$\left[ \left[ \frac{\partial L}{\partial \dot{x}_i} \right] \right]_{\psi(0)} = \lambda n_i \quad i = 1, 2, 3 \quad (1.36)$$

dove  $\lambda$  è un moltiplicatore di Lagrange incognito.

Le equazioni 1.35 sono le equazioni di Eulero-Lagrange e la condizione di salto di Weierstrass-Erdman per il funzionale

$$\int_a^{a'} L dt = \int_a^{a'} \sqrt{\sum_{i=1}^3 (\dot{x}_i)^2} dt. \quad (1.37)$$

Si possono riscrivere le equazioni di Lagrange in una forma più espressiva, introdotto il il versore tangente al raggio  $\gamma_0$  che va dal punto  $\bar{x}$  al punto  $\bar{x}'$

$$\mathbf{t} = \frac{\dot{x}_i}{\sqrt{\sum_{i=1}^3 (\dot{x}_i)^2}}, \quad (1.38)$$

e ricordando che

$$\frac{ds}{dt} = \sqrt{\sum_{i=1}^3 (\dot{x}_i)^2} \quad (1.39)$$

è possibile porle nella forma

$$\frac{d}{ds} (N \mathbf{t}) = \nabla N. \quad (1.40)$$

Si osservi che queste equazioni implicano che la luce si propaga in linea retta in tutte le regioni che hanno indice di rifrazione  $N$  costante. Riscrivendo anche la condizione sul salto con le stesse notazioni e

$$N' \mathbf{t}' - N \mathbf{t} = \lambda \mathbf{n}. \quad (1.41)$$

si evince che il raggio incidente, quello rifratto ed  $\mathbf{n}$ , il versore normale ad  $S$  ed orientato nel verso della propagazione della luce, sono complanari al punto di incidenza. Inoltre moltiplicando vettorialmente la precedente relazione per  $\mathbf{n}$ , si ha

$$N'\mathbf{t}' \times \mathbf{n} = N \mathbf{t} \times \mathbf{n} \quad (1.42)$$

da cui segue

$$N' \sin i' = N \sin i \quad (1.43)$$

dove  $i, i'$  sono rispettivamente gli angoli incidente e rifratto ossia gli angoli che  $\mathbf{t}$  e  $\mathbf{t}'$  formano con  $\mathbf{n}$ . La formula 1.43 insieme alla proprietà che i raggi incidenti e rifratti e la normale alla superficie sono complanari rappresentano **la legge di rifrazione** o **legge di Snell** dell'ottica geometrica. Valutiamo ora il moltiplicatore di Lagrange  $\lambda$ . Moltiplicando scalarmente per  $\mathbf{n}$  si verifica

$$\lambda = N' \cos i' - N \cos i = N' \sqrt{1 - \sin^2 i'} - N \cos i' \quad (1.44)$$

che per la 1.43 si può riscrivere come

$$\lambda = \sqrt{N'^2 - N^2 \sin^2 i} - N \cos i \quad (1.45)$$

E' così dimostrato che il principio di Fermat include tutte le proprietà dei raggi luminosi, la legge di riflessione, citata all' inizio di questo paragrafo si ottiene dalla legge di Snell sostituendo  $N' = -N$ .

## 1.2 Il problema dei dati al contorno

Si osservi che la determinazione del raggio luminoso tra due punti  $\mathbf{x}$  e  $\mathbf{x}'$  per mezzo del principio di Fermat è stata ridotta alla ricerca della soluzione  $(x_i(t))$ ,  $i = 1, 2, 3$ , del seguente sistema di equazioni differenziali

$$\frac{\partial L}{\partial x_i} - \frac{d}{dt} \frac{\partial L}{\partial \dot{x}_i} = 0, \quad (1.46a)$$

$$x_i(a) = x_a^i \quad x_i(b) = x_b^i \quad (1.46b)$$

$$\left[ \left[ \frac{\partial L}{\partial \dot{x}_i} \right] \right]_{\psi(0)} = \lambda n_i \quad (1.46c)$$

che, come è già stato sottolineato, non ammette un teorema di esistenza ed unicità per la soluzione. Si può verificare tramite esempi che il problema può ammettere infinite soluzioni.

Verrano ora ricavate altre utili informazioni dal problema così com' è posto. Ricordando che una curva di  $R^3$  è definita come un'applicazione

$$\gamma : t \in [a, b] \rightarrow (x_1(t), x_2(t), x_3(t)).$$

Di conseguenza un cambio del parametro  $t = t(\tau)$  genera una nuova curva. In altre parole una curva è una carta  $t \rightarrow R^3$ , non un luogo di punti di  $R^3$ . D'altro canto è chiaro che il funzionale che compare nel principio di Fermat è indipendente dalla scelta del parametro  $t$ , poiché il principio di Fermat definisce un raggio come un luogo di punti. Pertanto il problema con dati al contorno a cui ci stiamo interessando è definito a meno di un cambio di parametro, cosicché le equazioni 1.46a non sono indipendenti. Infatti l'identità (la somma su  $i$  è sottointesa)

$$L - \dot{x}_i \frac{\partial L}{\partial \dot{x}_i} = 0,$$

implica

$$\frac{\partial L}{\partial x_h} = \dot{x}_i \frac{\partial^2 L}{\partial \dot{x}_i \partial x_h}, \quad \frac{\partial L}{\partial \dot{x}_h} = \frac{\partial L}{\partial \dot{x}_h} + \dot{x}_i \frac{\partial^2 L}{\partial \dot{x}_i \partial x_h} \quad (1.47)$$

e quindi

$$\dot{x}_i \frac{\partial^2 L}{\partial \dot{x}_i \partial x_h} = 0. \quad (1.48)$$

Tenendo presenti le due ultime relazioni si verifica immediatamente che vale la seguente

$$\dot{x}_i \left( \frac{\partial L}{\partial x_i} - \frac{d}{dt} \frac{\partial L}{\partial \dot{x}_i} \right) = 0,$$

di conseguenza una delle tre equazioni è verificata come conseguenza delle altre e può essere eliminata. Poiché le soluzioni sono indipendenti dal parametro  $t$ , supponiamo che sia possibile introdurre una superficie di coordinate in cui tutti i raggi a cui siamo interessati può essere rappresentata dalle seguenti equazioni parametriche

$$x_\alpha = x_\alpha(x_3), \quad \alpha = 1, 2. \quad (1.49)$$

Sotto queste ipotesi, abbiamo

$$L = N(x_i) \sqrt{1 + \dot{x}_1^2 + \dot{x}_2^2}, \quad (1.50)$$

d'ora in avanti il punto indicherà la derivazione rispetto ad  $x_3$  e le equazioni indipendenti sono

$$\frac{\partial L}{\partial x_\alpha} - \frac{d}{dt} \frac{\partial L}{\partial \dot{x}_\alpha} = 0, \quad (1.51a)$$

$$x_\alpha(a) = x_\alpha^a \quad x_\alpha(b) = x_\alpha^b \quad (1.51b)$$

$$\left[ \left[ \frac{\partial L}{\partial \dot{x}_i} \right] \right]_{\psi(0)} = \lambda n_\alpha, \quad \alpha = 1, 2. \quad (1.51c)$$

### 1.3 Analogie con la meccanica classica

In questo paragrafo verranno messe in evidenza alcune analogie tra l'ottica Hamiltoniana e la meccanica classica. Sia  $K$  un sistema meccanico con vincoli olonomi, fissi e lisci, sul quale agiscono forze conservative derivanti dall'energia potenziale  $U$ . Si supponga che il sistema  $K$  abbia  $n$  gradi di libertà e indichiamo con  $V_n$  il suo spazio delle configurazioni. Introducendo su  $V_n$  un sistema di coordinate lagrangiane  $\mathbf{q} = (q_1, \dots, q_n)$  il moto di  $K$  sarà descritto geometricamente da una curva  $\mathbf{q}(t) = (q_1(t), \dots, q_n(t))$  su  $V_n$ . Le curve di questo tipo sono definite a partire da un altro principio variazionale. Introducendo l'energia cinetica lagrangiana

$$T = \frac{1}{2} a_{hk}(\mathbf{q}) \dot{q}_h \dot{q}_k, \quad (1.52)$$

consideriamo la classe dei moti aventi un valore fissato dell'energia  $E$ , e la varietà di Riemann ottenuta dotando  $V_n$  della metrica

$$d\sigma^2 = 2(E - U(\mathbf{q})) a_{hk}(\mathbf{q}) q_h q_k, \quad (1.53)$$

possiamo formulare il **Principio di Maupertuis**:

*Sia  $K$  un sistema meccanico con vincoli olonomi, fissi e lisci, sul quale agiscono forze conservative derivanti dall'energia potenziale  $U$ . Le curve di  $V_n$  che descrivono i moti di  $K$  con energia  $E$  tra due configurazioni  $q_1$  e  $q_2$ , sono geodetiche per la metrica di Riemann 1.53 ovvero sono estremali per il funzionale*

$$\int_{\mathbf{q}_1}^{\mathbf{q}_2} d\sigma. \quad (1.54)$$

*Inoltre il punto, che rappresenta  $K$  in  $V_n$ , si muove lungo queste curve secondo la legge*

$$\frac{d\sigma}{dt} = 2(E - U). \quad (1.55)$$

In particolare, se considerando un punto materiale di massa  $m$  e introduciamo coordinate cartesiane ortogonali, abbiamo

$$T = \frac{1}{2} \sum_{i=1}^3 (\dot{x}_i)^2,$$

da cui la metrica ed il funzionale assumono la forma

$$d\sigma^2 = 2(E - U) \sum_{i=1}^3 dx_i^2, \quad (1.56a)$$

$$\int_{\mathbf{x}_1}^{\mathbf{x}_2} \sqrt{2(E - U) \sum_{i=1}^3 dx_i^2}, \quad (1.56b)$$



dove  $\mathbf{x}_1$ ,  $\mathbf{x}_2$  sono le posizioni iniziale e finale di P.

Un confronto tra le 1.56 e le equazioni corrispondenti per l'ottica geometrica, mostra chiaramente che fissate le configurazioni iniziale e finale, il punto P, soggetto a forze che discendono dall'energia potenziale U, descrive la stessa traiettoria di un raggio di luce con gli stessi estremi a condizione che sia soddisfatta la seguente uguaglianza

$$\sqrt{2(E - U)} = N. \quad (1.57)$$

## 1.4 Da Fermat a Feynman

Lo scopo di questo paragrafo è presentare una breve analisi storica e concettuale dei principi variazionali. È noto che le equazioni fondamentali della fisica, nei suoi campi più disparati, possono essere ricavati dal calcolo degli estremali di un funzionale che assume la forma generale

$$S(\psi, \dot{\psi}) = \int d^4x \mathcal{L}(\psi^i, \dot{\psi}^j, x^\mu). \quad (1.58)$$

Dove  $\psi$  indica la grandezza incognita,  $\dot{\psi}$  le sue derivate rispetto alle  $x^\mu$  che sono le variabili indipendenti del sistema ed  $\mathcal{L}$  è una funzione di tutte queste grandezze detta *densità lagrangiana*. Grazie a questo procedimento si arriva alle note equazioni di Lagrange che costituiscono il punto di partenza per la risoluzione di numerosi problemi. Storicamente la circostanza che la natura evolva soddisfacendo un così elegante principio ha generato le più svariate interpretazioni, tra cui, ovviamente, la prova di un'origine divina di tali principi e ha condotto all'attribuire un significato metafisico a tali principi. Una corretta interpretazione dei principi variazionali tramite il loro inquadramento nell'ambito della teoria quantistica dei campi si è avuta intorno al 1950 ad opera di Feynman. L'idea consiste nel caratterizzare la probabilità di transizione da uno stato iniziale  $|i\rangle$  ad uno stato finale  $|f\rangle$  attraverso alla funzione  $S$  definita nella 1.58, più precisamente

$$\langle i | \exp -iHt/\hbar | f \rangle = \int \mathcal{D}\psi \exp \left\{ \frac{i}{\hbar} \mathcal{L}(\psi, \dot{\psi}) \right\}. \quad (1.59)$$

Questa formula si propone come un'alternativa alle regole di quantizzazione canonica in quanto permette di definire il propagatore a partire dalla Lagrangiana classica. Si noti l'eleganza di questa idea che rende molto intuitivo il legame tra la meccanica classica e quantistica: ogni cammino virtuale contribuisce all'ampiezza totale con un'ampiezza di modulo uno e dunque nessun cammino è più probabile degli altri. Tuttavia, nel limite in cui la costante

$\hbar$  sia piccola rispetto alle azioni in gioco nel sistema fisico, il principio della fase stazionaria ci dice che i contributi di tutti i cammini si cancellano per interferenza, tranne quelli per cui la fase  $S(\psi, \dot{\psi})$  risulti stazionaria rispetto a piccole variazioni del cammino, il che costituisce il principio di Maupertuis, che determina le equazioni del moto classiche. Ecco svelato il segreto di tutti i principi variazionali della meccanica classica: si tratta semplicemente di manifestazioni della fase stazionaria applicata alla formulazione quantistica in termini di somma sui cammini!

# Capitolo 2

## Ottica Hamiltoniana

### 2.1 Formulazione Hamiltoniana dell'ottica geometrica

Risulta particolarmente conveniente il passaggio dal formalismo Lagrangiano a quello Hamiltoniano.

**Definizione 3** *Si ponga com'è d'uso per i momenti cinetici*

$$p_\alpha = \frac{\partial L}{\partial \dot{x}_\alpha} = N \frac{\dot{x}_\alpha}{\sqrt{1 + \dot{x}_1^2 + \dot{x}_2^2}}. \quad (2.1)$$

Per scrivere l'Hamiltoniana in funzione delle coordinate canoniche si devono esprimere le variabili  $\dot{x}_\alpha$  in termini dei momenti cinetici. Si osservi che

$$p_3^2 = N^2 - p_1^2 - p_2^2 = \frac{N^2}{1 + \dot{x}_1^2 + \dot{x}_2^2} \quad (2.2)$$

quindi

$$\sqrt{N^2 - p_1^2 - p_2^2} = \frac{N}{\sqrt{1 + \dot{x}_1^2 + \dot{x}_2^2}} \quad (2.3)$$

usando la 2.1 si ottiene

$$\dot{x}_\alpha = \frac{p_\alpha}{\sqrt{N^2 - p_1^2 - p_2^2}}. \quad (2.4)$$

Si può ora scrivere

$$H(x_\alpha, p_\alpha, x_3) = \sum_{\alpha=1}^2 p_\alpha \dot{x}_\alpha - L = -\sqrt{N^2 - p_1^2 - p_2^2}. \quad (2.5)$$

Le equazioni di Hamilton sono

$$\dot{x}_\alpha = \frac{\partial H}{\partial p_\alpha}, \quad (2.6)$$

$$\dot{p}_\alpha = -\frac{\partial H}{\partial x_\alpha}, \quad (2.7)$$

quindi le condizioni di salto diventano

$$[[p_\alpha]] = \lambda n_\alpha. \quad (2.8)$$

## 2.2 Funzioni principali di Hamilton

Sebbene le equazioni di Hamilton siano facilmente integrabili, al loro uso si preferisce quello delle funzioni principali di Hamilton. La conoscenza di una di queste funzioni permetterebbe una analisi completa delle aberrazioni di un sistema ottico, purtroppo non è possibile determinarle in maniera esatta. La loro importanza è comunque grande, dato che a partire dalle loro espressioni approssimate ad ordini successivi si ricavano versioni della teoria via via più accurate. Dalla prima approssimazione si ottiene l'ottica gaussiana, dalla seconda la teoria delle aberrazioni del terzo ordine, dalla successiva la teoria del quinto ordine e così via. Ovviamente i calcoli per ottenere approssimazioni migliori diventano sempre più complicati man mano che cresce il livello di precisione che si vuole ottenere, cosicché solo le prime due sono realmente utili.

D'ora in avanti, con la dizione spazio oggetto si denoterà quella regione che contiene l'oggetto di cui il sistema ottico in esame deve formare l'immagine. La luce proviene questa regione, che si assume essere situata alla sinistra del sistema ottico. Analogamente, lo spazio immagine è la regione contenente l'immagine formata dal sistema ottico che può coincidere o meno con la prima regione come nel caso di sistemi riflettenti. A seconda dei casi sarà conveniente riferirsi ai due spazi usando il medesimo sistema di coordinate oppure utilizzando due sistemi distinti.

Al fin di introdurre la prima funzione principale, supponiamo che:

**per una qualunque coppia di punti  $x$  e  $x'$ , il primo appartenente allo spazio oggetto il secondo allo spazio immagine, esiste uno ed un solo raggio  $\gamma$  con estremi  $x$  ed  $x'$ .**

Questa ipotesi implica che la lunghezza del cammino ottico lungo un raggio dipenda solo dalla scelta degli estremi poiché il raggio  $\gamma$  che li collega è univocamente determinato.

La funzione principale di punto o puntuale è definita come

$$V(\mathbf{x}, \mathbf{x}') = OPL(\gamma), \quad (2.9)$$

dove  $OPL(\gamma)$  è valutata lungo l'unico raggio che li collega.

Per apprezzare la grande importanza della funzione principale  $V(\mathbf{x}, \mathbf{x}')$ , bisogna valutarne il differenziale su una coppia di punti  $\mathbf{x}, \mathbf{x}'$ . Di conseguenza basta considerare la famiglia  $\Delta$  di curve ad un parametro con estremi variabili (si veda 1.11) e calcolare il differenziale della funzione  $I(\varepsilon)$  per  $\varepsilon = 0$ ; in altre parole usiamo la 1.31 lungo una famiglia di raggi. Dalla 1.31 una volta che si prenda in considerazione anche le equazioni di Lagrange si ha

$$dV = \frac{\partial V}{\partial x_i} dx_i + \frac{\partial V}{\partial x'_i} dx'_i = -\frac{\partial L}{\partial x_i} dx_i + \frac{\partial L}{\partial x'_i} dx'_i \quad (2.10)$$

essendo le variazioni  $dx$  ed  $dx'$  arbitrarie possiamo scrivere le seguenti uguaglianze

$$\frac{\partial V}{\partial x_i} = -\frac{\partial L}{\partial x_i}; \quad (2.11)$$

$$\frac{\partial V}{\partial x'_i} = \frac{\partial L}{\partial x'_i} \quad (2.12)$$

ovvero

$$p_i = -\frac{\partial V}{\partial x_i} = p_i(\mathbf{x}, \mathbf{x}'), \quad (2.13a)$$

$$p'_i = \frac{\partial V}{\partial x'_i} = p'_i(\mathbf{x}, \mathbf{x}'). \quad (2.13b)$$

Le 2.13 associano ad ogni coppia di punti, uno nello spazio oggetto e l'altro nello spazio immagine, le corrispondenti direzioni  $\mathbf{p}$  e  $\mathbf{p}'$  dell'unico raggio che li connette. Va sottolineato che le 2.13 non sono indipendenti poiché valgono le seguenti identità

$$\mathbf{p} \cdot \mathbf{p} = N^2 \quad \mathbf{p}' \cdot \mathbf{p}' = N'^2, \quad (2.14)$$

che possono anche essere scritte come

$$\sum_{i=1}^3 \left( \frac{\partial V}{\partial x_i} \right) = N^2, \quad \sum_{i=1}^3 \left( \frac{\partial V}{\partial x'_i} \right) = N'^2. \quad (2.15)$$

Se ne conclude che  $V$  è una soluzione dell'equazione dell'iconale nello spazio oggetto ed in quello immagine. Supponendo che quattro delle 2.13 formino

un sistema di equazioni indipendenti, senza perdita di generalità scegliamo le prime due equazioni sia per della 2.13a che per la 2.13b,

$$p_\alpha = -\frac{\partial V}{\partial x_\alpha} = p_\alpha(x_\alpha, x'_\alpha, x_3, x'_3), \quad (2.16a)$$

$$p'_\alpha = \frac{\partial V}{\partial x'_\alpha} = p'_\alpha(x_\alpha, x'_\alpha, x_3, x'_3). \quad (2.16b)$$

con  $\alpha, \beta = 1, 2$  vale la condizione

$$\det \left( \frac{\partial^2 V}{\partial x_\alpha \partial x'_\beta} \right) \neq 0. \quad (2.17)$$

Con queste ipotesi è possibile invertire le prime due equazioni e porre il sistema nella forma

$$x_\alpha = x'_\alpha(x_\alpha, x'_\alpha, x_3, x'_3), \quad (2.18a)$$

$$p'_\alpha = p'_\alpha(x_\alpha, x'_\alpha, x_3, x'_3). \quad (2.18b)$$

Assegnando due piani nello spazio oggetto e nello spazio immagine, rispettivamente  $x_3 = \bar{x}_3$ ,  $x'_3 = \bar{x}'_3$ . D' ora in avanti questi piani saranno indicati rispettivamente come piano base anteriore e piano base posteriore. Possiamo dire che

**Proposizione 4** *le 2.18 definiscono una corrispondenza che ad ogni punto  $x_\alpha$  del piano base anteriore  $x_3 = \bar{x}_3$  e ad ogni direzione del raggio uscente da questo punto associa uno ed un solo punto nel piano base posteriore  $x'_3 = \bar{x}'_3$  ed una sola direzione del raggio.*

Oltre alla funzione principale di punto  $V$ , possono essere introdotte altre funzioni principali che si rivelano utili in diverse situazioni. Infatti  $V$  non può essere utilizzata se i piani  $x_3 = \bar{x}_3$ ,  $x'_3 = \bar{x}'_3$  contengono punti stigmatici <sup>1</sup>.

Si definisca la funzione principale angolare, o più brevemente funzione angolare

$$T = V + \mathbf{p} \cdot \mathbf{x} - \mathbf{p}' \cdot \mathbf{x}'. \quad (2.19)$$

Dalla 2.13 e dalla definizione di  $T$  si ottiene

$$dT = \mathbf{x} \cdot d\mathbf{p} - \mathbf{x}' \cdot d\mathbf{p}', \quad (2.20)$$

---

1

**Definizione 5** *Due punti  $\mathbf{x}$ ,  $\mathbf{x}'$  si dicono stigmatici se tutti i raggi uscenti da  $\mathbf{x}$  si intersecano in  $\mathbf{x}'$*

dove le variazioni  $d\mathbf{p}$  e  $d\mathbf{p}'$  non sono arbitrarie perché dalla 2.14 si ha

$$\mathbf{p} \cdot d\mathbf{p} = 0 \quad \mathbf{p}' \cdot d\mathbf{p}' = 0. \quad (2.21)$$

Di conseguenza

$$dp_3 = \frac{1}{p_3} \sum_{\alpha=1}^2 p_\alpha dp_\alpha, \quad dp'_3 = \frac{1}{p'_3} \sum_{\alpha=1}^2 p'_\alpha dp'_\alpha, \quad (2.22)$$

cosicché, sostituendo queste espressioni nella 2.20 otteniamo le seguenti relazioni

$$dT = \sum_{\alpha=1}^2 \left[ \left( x_\alpha - \frac{p_\alpha}{p_3} \right) dp_\alpha - \left( x'_\alpha - \frac{p'_\alpha}{p'_3} \right) dp'_\alpha \right] \quad (2.23)$$

dove le variazioni  $dp_\alpha$ ,  $dp'_\alpha$  sono ora arbitrarie. Si ottiene pertanto

$$x_\alpha = \frac{p_\alpha}{p_3} x_3 + \frac{\partial T}{\partial p_\alpha}, \quad (2.24a)$$

$$x'_\alpha = \frac{p'_\alpha}{p'_3} x'_3 - \frac{\partial T}{\partial p'_\alpha}. \quad (2.24b)$$

Concludendo, se la funzione angolare  $T(p_\alpha, p'_\alpha)$  è nota e sono assegnati i piani base principali, le precedenti relazioni associano ad una coppia di direzioni  $\mathbf{p}$ ,  $\mathbf{p}'$  i punti  $\mathbf{x}$ ,  $\mathbf{x}'$  in cui i raggi considerati intersezionano i piani base.

Si possono definire le funzioni principali miste o funzioni miste in questo modo

$$W_1 = V + \mathbf{p} \cdot \mathbf{x} \quad (2.25)$$

$$W_2 = V - \mathbf{p}' \cdot \mathbf{x}'. \quad (2.26)$$

Dalla (2.10) e dalle precedenti definizioni si ha

$$dW_1 = -\mathbf{x} \cdot d\mathbf{p} + \mathbf{p}' \cdot d\mathbf{x}', \quad (2.27)$$

$$dW_2 = -\mathbf{p} \cdot d\mathbf{x} + \mathbf{x}' \cdot d\mathbf{p}'. \quad (2.28)$$

Tenendo conto delle 2.22 e fissato il piano base posteriore, otteniamo le seguenti relazioni

$$x_\alpha = \frac{p_\alpha}{p_3} x_3 - \frac{\partial W_1}{\partial p_\alpha}, \quad (2.29)$$

$$p'_\alpha = \frac{\partial W_1}{\partial x'_\alpha}, \quad (2.30)$$

$$x'_\alpha = \frac{p'_\alpha x'_3}{p'_3} - \frac{\partial W_2}{\partial p'_\alpha}, \quad (2.31)$$

$$p'_\alpha = -\frac{\partial W_2}{\partial x_\alpha}. \quad (2.32)$$

Si possono ripetere le stesse considerazioni fatte fin qui per il sistema ottenuto dalla funzione angolare. Anche per le funzioni  $T, W_1, W_2$  così come per la funzione  $V$  possono esistere situazioni in cui esse non sono utilizzabili. Ad esempio, la funzione  $T$  non può essere utilizzata nei casi in cui, per  $\mathbf{p}, \mathbf{p}'$  fissati, esistano infinite coppie di punti  $\mathbf{x}$  e  $\mathbf{x}'$  che soddisfano la 2.24, (sistemi telescopici). La funzione  $W_1$  non può essere usata se a  $\mathbf{x}, \mathbf{p}'$  fissati vengono associate infinite coppie  $\mathbf{p}, \mathbf{x}'$  (punti focali nel piano oggetto). Una condizione simile vale per  $W_2$  (punti focali nel piano immagine).

## 2.3 Simmetria assiale di un sistema ottico

D' ora in avanti verranno considerati sistemi ottici aventi un asse di simmetria  $s$ , che sarà chiamato asse ottico del sistema. Analizzeremo in particolare le conseguenze sulle funzioni principali.

Per un sistema con simmetria assiale, l' asse  $s$  è anche un raggio per il sistema ottico. Nel seguito l' asse  $Ox_3$  del sistema di riferimento  $Ox_1x_2x_3$  sarà scelto coincidente con l' asse di simmetria, la stessa convenzione sarà adottata per il sistema di riferimento nello spazio immagine  $Ox'_1x'_2x'_3$  e gli altri due assi paralleli con quelli dello spazio oggetto. Di conseguenza l' indice di rifrazione  $N(\mathbf{x})$  verifica la condizione

$$N(\mathbf{x}) = N(U, x_3), \quad U = x_1^2 + x_2^2. \quad (2.33)$$

Inoltre, nel caso di un sistema ottico con simmetria assiale, la funzione principale  $V(\mathbf{x}, \mathbf{x}')$  può essere posta nella forma

$$V(\mathbf{x}, \mathbf{x}') = V(U, U', x_3, x'_3), \quad (2.34)$$

dove

$$U = x_1^2 + x_2^2, \quad (2.35a)$$

$$U' = x_1'^2 + x_2'^2, \quad (2.35b)$$

$$\omega = x_1x'_1 + x_2x'_2. \quad (2.35c)$$

Considerazioni simili valgono anche per le altre funzioni principali, ad esempio per la funzione angolare

$$T(\mathbf{p}, \mathbf{p}') = T(\xi, \xi, \eta), \quad (2.36)$$



con

$$\xi = p_1^2 + p_2^2, \quad (2.37a)$$

$$\xi' = p_1'^2 + p_2'^2, \quad (2.37b)$$

$$\eta = p_1 p_1' + p_2 p_2'. \quad (2.37c)$$

Si osservi che le componenti  $p_3, p_3'$  non compaiono esplicitamente in quanto possono essere scritte come

$$p_3^2 = N^2 - \xi,$$

$$p_3'^2 = N'^2 - \xi'.$$

## 2.4 L' invariante ottico di Lagrange

Diretta conseguenza dell' invarianza per rotazioni attorno all' asse  $s$  (coincidente con  $Ox_3$ ) sarà la presenza di un integrale primo,  $L_3$ . Basterà applicare il teorema di Noether nel formalismo lagrangiano per averne un' espressione esplicita. Si è preferito l' uso del formalismo Lagrangiano perché a differenza di quello Hamiltoniano dà direttamente l' espressione dell' integrale primo, mentre il secondo fornisce un sistema di equazioni dal quale esplicitarlo. Sia  $S$  un sistema ottico centrato,  $s$  l' asse di simmetria e si scelga l' asse di simmetria coincidente con con il terzo asse del riferimento  $Ox_1x_2x_3$ . Adottando coordinate polari  $(\rho, \theta)$

$$x_1 = \rho \cos \theta, \quad (2.38)$$

$$x_2 = \rho \sin \theta, \quad (2.39)$$

dove

$$\rho = \sqrt{x_1^2 + x_2^2}, \quad (2.40)$$

$$\theta = \arctan \frac{x_2}{x_1}. \quad (2.41)$$

La Lagrangiana nelle nuove coordinate si scrive

$$L = N \sqrt{1 + \dot{\rho}^2 + \rho^2 \dot{\theta}^2}. \quad (2.42)$$

Dato che  $L$  non dipende da  $\theta$  la quantità

$$L_3 = \frac{\partial L}{\partial \dot{\theta}} = N \frac{\rho^2 \dot{\theta}^2}{\sqrt{1 + \dot{\rho}^2 + \rho^2 \dot{\theta}^2}}, \quad (2.43)$$

è indipendente da  $x_3$ . Ritornando alle coordinate cartesiane ed esprimendo  $L_3$  in termini delle  $p_\alpha$  usando le 2.1 si ha

$$L_3 = p_2 x_1 - p_1 x_2. \quad (2.44)$$

Ossia  $L_3$  è costante in ogni regione in cui l' indice di rifrazione è costante. Verrà dimostrato ora che questa quantità si conserva anche nel passaggio tra mezzi con indice di rifrazione diversi. Senza perdita di generalità ci limiteremo a considerare il passaggio attraverso una sola superficie. Le quantità della prima regione verranno distinte da quelle della seconda indicando quest' ultime con il medesimo simbolo con un apice. Sia

$$x_1(z) = \frac{p_1}{r}(z - z_0) + x_0, \quad (2.45)$$

$$x_2(z) = \frac{p_2}{r}(z - z_0) + y_0. \quad (2.46)$$

l' espressione del raggio nella prima regione. Nella seconda regione avremo

$$x'_1(z) = \frac{p'_1}{r'}(z - z'_0) + x'_0, \quad (2.47)$$

$$x'_2(z) = \frac{p'_2}{r'}(z - z'_0) + y'_0. \quad (2.48)$$

Si osservi che  $(x'_0, y'_0, z'_0)$  è il punto d' intersezione della superficie con la superficie ottica. Per continuità si deve avere

$$x_\alpha(z'_0) = x'_\alpha(z'_0), \quad (2.49)$$

quindi

$$x'_0 = \frac{p_1}{r}(z'_0 - z_0) + x_0, \quad (2.50a)$$

$$y'_0 = \frac{p_2}{r}(z'_0 - z_0) + y_0. \quad (2.50b)$$

$p'_\alpha$  sarà dato dalla 2.8. Sia  $F(x^2 + y^2, z) = 0$  l'espressione implicita della superficie, le prime due componenti del versore normale nel punto di intersezione sono

$$n_1 = \frac{1}{|\nabla F|} \frac{\partial F}{\partial x_1} = \frac{1}{|\nabla F|} \frac{\partial F}{\partial U} \frac{\partial U}{\partial x_1} = 2x'_0 \bar{n}, \quad (2.51)$$

$$n_2 = \frac{1}{|\nabla F|} \frac{\partial F}{\partial x_2} = \frac{1}{|\nabla F|} \frac{\partial F}{\partial U} \frac{\partial U}{\partial x_2} = 2x'_0 \bar{n}, \quad (2.52)$$

dove si è posto  $\bar{n} = \frac{1}{|\nabla F|} \frac{\partial F}{\partial U}$  ed  $U_2 = x^2 + y^2$ . Sostituendo le relazioni testè trovate nell' espressione di  $L'_3$  dopo calcoli elementari si ottiene

$$L_3 = L'_3, \quad (2.53)$$

ovvero la quantità  $L_3$  si conserva passando attraverso una superficie ottica.

## 2.5 Superfici sferiche, nuovi invarianti ottici

Viene ora preso in considerazione il caso in cui ci sia una sola superficie rifrangente sferica. Si fissi il sistema di riferimento con l'origine coincidente col centro della sfera. Sia

$$x^2 + y^2 + z^2 = R^2.$$

l'equazione della superficie sferica. Siano

$$\begin{aligned} x(z_0) &= x_0 & p(z_0) &= p_0 \\ y(z_0) &= y_0 & q(z_0) &= q_0 \end{aligned}$$

i dati iniziali ed  $N$  ed  $N'$  gli indici di rifrazione. Risulta conveniente scrivere il raggio in forma parametrica

$$\mathbf{x} = \mathbf{p}t + \mathbf{x}_0$$

con ovvio significato della notazione usata e

$$t = \frac{(z - z_0)}{p_3}. \quad (2.54)$$

Il valore di  $t$  per il quale il raggio incontra la superficie è

$$t_{int} = \frac{-(\mathbf{p} \cdot \mathbf{x}_0) - \sqrt{N^2 R^2 - \mathbf{L}^2}}{N^2}, \quad (2.55)$$

dove  $\mathbf{L}$  è il vettore di componenti  $L_k = \varepsilon_{ijk} x_i p_j$ , dove  $\varepsilon_{ijk}$  è il tensore di Levi Civita. Si dimostrerà in seguito che  $\mathbf{L}$  è un invariante ottico nel caso in cui le superfici ottiche siano a simmetria sferica. Si può ora calcolare il valore di  $\lambda$ . Essendo

$$\cos i = \frac{\mathbf{p} \cdot \mathbf{x}(t_{int})}{NR} = \frac{\sqrt{N^2 R^2 - \mathbf{L}^2}}{NR},$$

si ottiene

$$\lambda = \frac{\sqrt{N'^2 R^2 - \mathbf{L}^2} - \sqrt{N^2 R^2 - \mathbf{L}^2}}{R}. \quad (2.56)$$

Il versore  $\mathbf{n}$  assume la seguente forma

$$\mathbf{n} = \frac{\mathbf{p}t_{int} + \mathbf{x}_0}{R}. \quad (2.57)$$

L'espressione del raggio nella regione a destra della superficie è quindi

$$\mathbf{x}(z) = (\mathbf{p}_1 + \lambda_1 \mathbf{n}_1)(t - t_1) + \mathbf{x}(t_1).$$

Si può ora tornare alla consueta forma dell'espressione del raggio

$$x_\alpha(z) = (p_\alpha + \lambda n_\alpha) \frac{(z - z_i)}{p'_3} + p_\alpha \left( \frac{z_i - z_0}{p_3} \right) + x_{0\alpha} = \quad (2.58)$$

$$\begin{aligned} & (p_\alpha + \lambda n_\alpha) (t - t_i) + p_\alpha (t_i - t_0) + x_{0\alpha} \\ x_\alpha(z) &= p_\alpha \left[ (t - t_i) + \frac{\lambda}{R} (t_i - t_0) (t - t_i) + (t_i - t_0) \right] + x_{\alpha 0} \left[ \frac{\lambda}{R} (t_i - t_0) + 1 \right]. \end{aligned} \quad (2.59)$$

Verrà dimostrato che le quantità

$$L_1 = qz - ry \quad (2.60)$$

$$L_2 = rx - pz \quad (2.61)$$

sono invarianti ottici. Iniziamo con l'osservare che

$$\frac{d}{dz} L_1 = q - r \frac{q}{r} = 0. \quad (2.62)$$

Nella seconda regione avremo

$$\begin{aligned} L'_1 &= (q + \lambda n_2) [(r + \lambda n_3) (t - t_i) + r (t_i - t_0) + z_1] - \\ & (r + \lambda n_3) [(q + \lambda n_2) (t - t_i) + q (t_i - t_0) + y_1] = \end{aligned} \quad (2.63)$$

$$L_1 + \frac{\lambda}{R} [q (t_i - t_0) + y_1] [r (t_i - t_0) + z_1] - \frac{\lambda}{R} [q (t_i - t_0) + y_1] [r (t_i - t_0) + z_1] = L_1.$$

Lo stesso risultato vale per  $L_2$ . Le due grandezze sono dunque invarianti ottici.

## 2.6 Trasformazioni degli invarianti di rotazione attraverso un sistema ottico centrato

Sia  $S$  un sistema ottico centrato composto da  $M$  superfici ottiche  $S_m$  ( $m = 1 \dots M$ ) con indice di rifrazione  $N_m$ . Le regioni tra le varie superfici ottiche sono numerate con lo stesso indice della superficie che ne delimita il lato destro. Tutte le quantità che verranno introdotte con indice  $m$  saranno quindi riferite alla regione od alla superficie  $m$ -sima. Un raggio che attraversa il sistema è una spezzata, in ogni regione che compone il sistema ottico ha espressione

$$\begin{aligned} X_m &= p_m \left( \frac{z - z_m^{int}}{r_m} \right) + x_m, \\ Y_m &= q_m \left( \frac{z - z_m^{int}}{r_m} \right) + y_m. \end{aligned}$$

Una volta calcolato il punto d' intersezione  $z_m^{int}$  del raggio con la superficie ottica  $S_m$  che lo rifrange si può dunque caratterizzare ogni raggio grazie alle quattro costanti  $(x_m, y_m, p_m, q_m)$ , che, scritte in funzione delle grandezze che caratterizzano il raggio nella regione precedente, danno

$$x_m = p_{m-1} \left( \frac{z_m^{int} - z_{m-1}^{int}}{r_{m-1}} \right) + x_{m-1}, \quad (2.64)$$

$$y_m = q_{m-1} \left( \frac{z_m^{int} - z_{m-1}^{int}}{r_{m-1}} \right) + y_{m-1}, \quad (2.65)$$

$$p_m = p_{m-1} + \lambda_m n_x, \quad (2.66)$$

$$q_m = q_{m-1} + \lambda_m n_y. \quad (2.67)$$

Queste relazioni altro non sono che la condizione di continuità del raggio sulla superficie e la condizione di salto di Weierstrass-Erdaman. Si può esprimere  $\lambda_m$  in funzione del dato iniziale invece che dell' angolo d' incidenza sulla superficie. Sia  $F_m(x^2 + y^2, z) = F_m(u, z)$  l'equazione implicita della superficie, di conseguenza il versore normale ha equazione

$$\mathbf{n}_m = \frac{\nabla F_m}{|\nabla F_m|} = \frac{1}{|\nabla F_m|} \left( \frac{\partial F_m}{\partial u} \frac{\partial u}{\partial x}, \frac{\partial F_m}{\partial u} \frac{\partial u}{\partial y}, \frac{\partial F_m}{\partial z} \right), \quad (2.68)$$

posto

$$R_m = |\nabla F_m| \quad (2.69)$$

$$n_u = 2 \frac{\partial F_m}{\partial u} \quad (2.70)$$

si ha

$$\mathbf{n}_m = \frac{1}{R_m} \left( n_u x, n_u y, \frac{\partial F_m}{\partial z} \right) \quad (2.71)$$

Si può ricavare il coseno dell'angolo d'incidenza osservando che

$$\mathbf{p} \cdot \mathbf{n} = |\mathbf{p}| |\mathbf{n}| \cos i_m = N \cos i_m \quad (2.72)$$

allora

$$\lambda_m = \sqrt{N_m - \left( N^2 - \left( \frac{\mathbf{p} \cdot \mathbf{n}}{N^2} \right) \right)} - \mathbf{p} \cdot \mathbf{n}. \quad (2.73)$$

L'espressione dei nuovi numeri direttori è dunque

$$p_{m+1} = p_m \left( 1 + \frac{n_u \lambda_m (z_{m+1} - z_m)}{R_m r_m} \right) + \frac{\lambda_m n_u}{R_m} x_m \quad (2.74)$$

$$q_{m+1} = q_m \left( 1 + \frac{n_u \lambda_m (z_{m+1} - z_m)}{R_m r_m} \right) + \frac{\lambda_m n_u}{R_m} y_m. \quad (2.75)$$

Se si scrivono gli invarianti di rotazione in funzione di questi dati si arriva alla seguente caratterizzazione

$$\mathbf{u}_m = T\mathbf{u}_{m-1} \quad (2.76)$$

dove si è posto  $\mathbf{u}_m = (u_m, v_m, w_m)$  e  $T$  è una opportuna matrice che dipende dalle caratteristiche fisiche del sistema in esame e dai dati iniziali del raggio. Applicando la relazione precedente a tutte le superfici che compongono il sistema ottico si ha per gli invarianti ottici dello spazio immagine

$$\mathbf{u}_M = \mathbf{T}\mathbf{u}_1 \quad (2.77)$$

dove

$$\mathbf{T} = \prod_{i=1}^M \mathbf{T}_i. \quad (2.78)$$

# Capitolo 3

## Ottica Gaussiana

### 3.1 Introduzione

Sia  $K$  un sistema ottico centrato e sia  $s$  il suo asse di simmetria. Si indicherà con  $\pi$  e  $\pi'$  due piani contenuti rispettivamente nello spazio oggetto e nello spazio immagine ed ortogonali ad  $s$ . Il piano  $\pi$  sarà identificato col piano base anteriore, mentre il piano  $\pi'$  con quello posteriore. Sebbene tutte le derivazioni saranno effettuate a partire dalla funzione angolare  $T$ , possono essere ripetute per una qualunque delle funzioni principali. Risulta decisamente conveniente cambiare la notazione adottata con la seguente

$$x_1 = x, \quad x_2 = y, \quad x_3 = z, \quad (3.1a)$$

$$x'_1 = x', \quad x'_2 = y', \quad x'_3 = z', \quad (3.1b)$$

$$p_1 = p, \quad p_2 = q, \quad p_3 = r, \quad (3.1c)$$

$$p'_1 = p', \quad p'_2 = q', \quad p'_3 = r'. \quad (3.1d)$$

Si introduca nello spazio oggetto un sistema di coordinate  $Oxyz$  tale che  $Oz$  coincida con l'asse  $s$  e  $O \in \pi$ ; analoga scelta verrà fatta nello spazio immagine, con un sistema di coordinate  $O'x'y'z'$  con  $O'z'$  coincidente con l'asse  $s$  e  $O' \in \pi'$ . La prima conseguenza di queste scelte è che le equazioni dei piani base sono

$$z = 0, \quad z' = 0. \quad (3.2)$$

Dalle 2.24, nella nuova notazione si ha

$$x = \frac{\partial T}{\partial p}, \quad x' = -\frac{\partial T}{\partial p'}, \quad (3.3a)$$

$$y = \frac{\partial T}{\partial q}, \quad y' = -\frac{\partial T}{\partial q'}. \quad (3.3b)$$

Va osservato che la funzione angolare dipende esplicitamente dalla scelta dei piani base  $\pi$ ,  $\pi'$  ossia dalla distanza  $a$  della prima superficie di  $K$  da  $\pi$  e dalla distanza  $a'$  dell'ultima superficie di  $K$  da  $\pi'$ . Quando i due piani base coincidono con i piani tangenti ai vertici delle ultime superfici la funzione angolare si dice intrinseca. Per determinare come  $T$  dipende da questa scelta, si considerino due piani base  $\pi$ ,  $\pi_1$  e due riferimenti associati a questi piani  $Oxyz$  e  $O_1x_1y_1z_1$  nello spazio oggetto ed altri due piani nello spazio immagine  $\pi'$ ,  $\pi'_1$ . Si denotino rispettivamente con  $d$  e  $d'$  le distanze tra le due coppie di piani. Sia  $\gamma$  un raggio di equazione  $\mathbf{x} = \mathbf{p}t + \mathbf{x}_0$ , dove  $t$  è un parametro,  $\mathbf{p}$  la direzione del raggio e  $\mathbf{x}_0$  le coordinate del raggio per  $t = 0$  quando interseca il piano  $\pi$ . Il raggio intersecherà il piano  $\pi_1$  per  $t = t_1 = \frac{d}{r}$ . In maniera assolutamente identica un raggio  $\gamma'$  intersecherà il piano  $\pi'$  per  $t' = t'_1 = \frac{d'}{r'}$ . Se ne conclude che le corrispondenze prodotte dai raggi tra le coppie di piani  $\pi$ ,  $\pi_1$  e  $\pi'$ ,  $\pi'_1$  sono espresse dalle seguenti relazioni

$$x_1 = x + p\frac{d}{r}, \quad y_1 = y + q\frac{d}{r}, \quad (3.4)$$

$$x'_1 = x' + p'\frac{d'}{r'}, \quad y'_1 = y' + q'\frac{d'}{r'}. \quad (3.5)$$

Utilizzando le 3.3 nelle relazioni precedenti seguono

$$x_1 = \frac{\partial T}{\partial p} + \frac{d}{r}p, \quad y_1 = \frac{\partial T}{\partial q} + \frac{d}{r}q, \quad (3.6a)$$

$$x'_1 = -\frac{\partial T}{\partial p'} + \frac{d'}{r'}p', \quad y'_1 = -\frac{\partial T}{\partial q'} + \frac{d'}{r'}q'. \quad (3.6b)$$

Tenendo conto delle 3.3 e delle 3.6 si ottiene facilmente

$$\frac{\partial T_1}{\partial p} = \frac{\partial T}{\partial p} + \frac{d}{r}p, \quad \frac{\partial T_1}{\partial q} = \frac{\partial T}{\partial q} + \frac{d}{r}q, \quad (3.7a)$$

$$\frac{\partial T_1}{\partial p'} = \frac{\partial T}{\partial p'} - \frac{d'}{r'}p', \quad \frac{\partial T_1}{\partial q'} = \frac{\partial T}{\partial q'} - \frac{d'}{r'}q', \quad (3.7b)$$

dove  $T_1$  indica la funzione angolare relativa ai piani  $\pi_1$  e  $\pi'_1$ .

## 3.2 Approssimazione parassiale per i sistemi ottici centrati

Possiamo ora introdurre la più semplice descrizione di un sistema ottico. Nel seguito si supporranno verificate le seguenti condizioni:



1. Gli angoli tra tutti i raggi che attraversano  $K$  e l'asse ottico sono - piccoli, cosicché possiamo considerare le componenti di  $\mathbf{p}$  e  $\mathbf{p}'$  come quantità del primo ordine.
2. Le componenti dei punti  $\mathbf{x}, \mathbf{x}'$  in cui i raggi intersecano i piani base e le superfici di  $K$  sono anch'esse quantità del primo ordine.

Sotto queste ipotesi, nelle trasformazioni tra i due piani base, tutti i termini che contengono potenze maggiori di uno nelle quantità  $x, x', y, y', p, p', q, q'$  possono essere trascurate. Equivalentemente ricordando che tali trasformazioni sono state ricavate dalla derivazione di  $T$ , tale funzione deve essere approssimata fino a termini del secondo ordine nelle  $p, p', q, q'$ . Le condizioni precedenti costituiscono l'approssimazione parassiale o Gaussiana e la teoria che ne deriva è detta ottica parassiale o Gaussiana. La funzione angolare assume dunque la forma

$$T = T_0 + A_\xi \xi + A_{\xi'} \xi' + A_\eta \eta, \quad (3.8)$$

essendo  $T_0, A_\xi, A_{\xi'}, A_\eta$  costanti che dipendono dalle caratteristiche del sistema ottico e dalla posizione dei piani base rispetto a  $K$ . Inoltre si è interessati solo alle derivate di  $T$ , di conseguenza si può trascurare il termine  $T_0$ . Una volta che sia nota  $T$  per una coppia di piani  $\pi, \pi'$  può essere calcolata la sua omologa per un'altra coppia di piani  $\pi_1, \pi'_1$ . Infatti, poiché

$$r = \sqrt{N^2 - \xi^2}, \quad r' = \sqrt{N'^2 - \xi'^2} \quad (3.9)$$

possiamo scrivere nell'approssimazione Gaussiana

$$r \simeq N - \frac{\xi}{2N}, \quad r' \simeq N' - \frac{\xi'}{2N'} \quad (3.10)$$

e dalle 3.7 otteniamo

$$A_{1\xi} = A_\xi + \frac{d}{2N}, \quad A_{1\xi'} = A_{\xi'} - \frac{d'}{2N'}, \quad A_{1\eta} = A_\eta. \quad (3.11)$$

Se indichiamo con  $\pi^*, \pi^{*'}$  indichiamo i piani tangenti, ortogonali ad  $s$ , alla prima e all'ultima superficie del sistema ottico  $K$ , la funzione angolare  $T^*$ , relativa a quest'ultima coppia di piani assume la forma

$$T^* = A_\xi^* \xi + A_{\xi'}^* \xi' + A_\eta^* \eta. \quad (3.12)$$

Dalle ultime due relazioni possiamo ricavare l'espressione di  $T$  in funzione dei coefficienti della funzione angolare intrinseca

$$T = T_0 + \left( A_\xi - \frac{d}{2N} \right) \xi + \left( A_{\xi'} + \frac{d'}{2N'} \right) \xi' + A_\eta \eta \quad (3.13)$$

### 3.3 Trasformazioni tra i piani base nell' ottica Gaussiana

Consideriamo le 2.24 e scriviamo le equazioni corrispondenti

$$x = 2 \left( A_\xi^* - \frac{a}{2N} \right) p + A_\eta^* p', \quad (3.14a)$$

$$y = 2 \left( A_\xi^* - \frac{a}{2N} \right) p + A_\eta^* q', \quad (3.14b)$$

$$x' = -2 \left( A_{\xi'} + \frac{a'}{2N'} \right) p' - A_\eta^* p, \quad (3.14c)$$

$$y' = -2 \left( A_{\xi'} + \frac{a'}{2N'} \right) q' - A_\eta^* q. \quad (3.14d)$$

Se è soddisfatta la condizione

$$A_\eta^* \neq 0, \quad (3.15)$$

è possibile risolvere le prime due equazioni rispetto a  $p', q'$ . Sostituendo queste relazioni nelle altre due equazioni si ottiene la corrispondenza tra i piani base  $\pi$  e  $\pi'$

$$x' = -\frac{2}{A_\eta^*} \left( A_{\xi'} + \frac{a'}{2N'} \right) x + \frac{1}{A_\eta} \left[ 4 \left( A_\xi^* + \frac{a}{2N} \right) \left( A_\xi^* - \frac{a}{2N} \right) - A_\eta^{*2} \right] p, \quad (3.16a)$$

$$y' = -\frac{2}{A_\eta^*} \left( A_{\xi'} + \frac{a'}{2N'} \right) y + \frac{1}{A_\eta} \left[ 4 \left( A_\xi^* + \frac{a}{2N} \right) \left( A_\xi^* - \frac{a}{2N} \right) - A_\eta^{*2} \right] q, \quad (3.16b)$$

$$p' = \frac{1}{A_\eta^*} x - \frac{1}{A_\eta^*} \left( A_\xi^* - \frac{a}{2N} \right) p, \quad (3.16c)$$

$$q' = \frac{1}{A_\eta^*} y - \frac{1}{A_\eta^*} \left( A_\xi^* - \frac{a}{2N} \right) q, \quad (3.16d)$$

che associa ad ogni raggio di numeri direttori  $(p, q)$  uscente dal punto  $(x, y)$  del piano  $\pi$  appartenente allo spazio oggetto, sia la direzione  $(p', q')$  del raggio emergente dal sistema ottico, sia il punto  $(x', y')$  in cui interseca il piano  $\pi'$  nello spazio immagine. E' possibile derivare una proprietà fondamentale dal sistema 3.16:

**Teorema 6** *Per ogni fissato piano  $\pi$  nello spazio oggetto, esiste un opportuno piano  $\pi'$  nello spazio immagine tale che tutti i raggi con numeri direttori  $(p, q)$  uscenti da un punto fissato  $(x, y) \in \pi$  intersecano il piano  $\pi'$  nello stesso punto  $(x', y')$ . Inoltre tale proprietà vale per ogni  $(x, y) \in \pi$ .*

E' immediato ricavare questa notevole proprietà dalle 3.16, basta osservare che le coordinate del punto  $(x', y')$  sono indipendenti dalla raggio del raggio entrante in  $K$  se e solo se è soddisfatta la seguente condizione

$$4 \left( A_{\xi}^* + \frac{a}{2N} \right) \left( A_{\xi}^* - \frac{a}{2N} \right) - A_{\eta}^{*2} = 0. \quad (3.17)$$

I piani base che verificano questa proprietà sono **piani coniugati**, in particolare il piano base anteriore è detto **piano oggetto** ed il piano base posteriore è detto **piano immagine**; inoltre l'immagine  $(x', y') \in \pi'$  di  $(x, y)$  è detta **immagine parassiale** o **Gaussiana** di  $(x, y)$ . Per una generica coppia di piani coniugati le 3.16 risultano semplificate ed assumono la forma

$$x' = -\frac{2}{A_{\eta}^*} \left( A_{\xi'}^* + \frac{a'}{2N'} \right) x, \quad (3.18a)$$

$$y' = -\frac{2}{A_{\eta}^*} \left( A_{\xi'}^* + \frac{a'}{2N'} \right) y, \quad (3.18b)$$

$$p' = \frac{1}{A_{\eta}^*} x - \frac{1}{A_{\eta}^*} \left( A_{\xi}^* - \frac{a}{2N} \right) p, \quad (3.18c)$$

$$q' = \frac{1}{A_{\eta}^*} x - \frac{1}{A_{\eta}^*} \left( A_{\xi}^* - \frac{a}{2N} \right) q. \quad (3.18d)$$

Va ricordato che anche se le 3.16, e le 3.18 sono formalmente valide per ogni scelta del punto  $(x, y)$  e delle direzioni  $(p, q)$  le coordinate, in realtà forniscono risultati fisicamente accettabili solo se il punto è in un intorno dell'asse ottico, ed i raggi uscenti formano angoli piccoli sempre con  $s$ . Inoltre il rapporto

$$M = \frac{x'}{x} = \frac{y'}{y} = -\frac{2}{A_{\eta}^*} \left( A_{\xi'}^* + \frac{a'}{2N'} \right) \quad (3.19)$$

è indipendente dal punto  $(x, y)$  cosicché l'immagine è ingrandita *proporzionalmente* se  $|M| > 1$  o rimpicciolita se  $|M| < 1$ .  $M$  è detto ingrandimento relativo alla coppia di piani coniugati. In particolare l'immagine risulta invertita se  $M < 0$ .

### 3.4 Fuochi e punti nodali di un sistema ottico

A partire dalle 3.18 è possibile definire alcune fondamentali grandezze parassiali di un sistema ottico  $K$ . I due piani coniugati  $\pi_p, \pi'_p$  per i quali risulta

$$x = x', \quad y = y', \quad (3.20)$$

sono detti rispettivamente piano principale anteriore e piano principale posteriore. Per determinare la distanza di questi piani dalle superfici anteriore e posteriore, nelle 3.17, 3.19 va imposto

$$2 \left( A_{\xi'}^* + \frac{a_p'}{2N'} \right) + A_{\eta}^* = 0, \quad (3.21)$$

$$2 \left( A_{\xi}^* + \frac{a_p}{2N} \right) - A_{\eta}^* = 0, \quad (3.22)$$

che forniscono

$$a_p = N (A_{\eta}^* + 2A_{\xi}^*), \quad a_p' = -N' (A_{\eta}^* + 2A_{\xi'}^*). \quad (3.23)$$

I punti P e P' in cui i piani principali incontrano l' asse ottico sono detti rispettivamente **punto principale anteriore** e **posteriore**. Introduciamo ora altre definizioni utili quando si ha a che fare con un sistema ottico nell' approssimazione parassiale. Calcoliamo la posizione del piano principale posteriore quando il piano principale anteriore è posto all' infinito, dalla 3.17 si ottiene

$$a_f' = -2N' A_{\xi'}^*.$$

Il punto  $F'$  sull' asse ottico posto a distanza  $a_f'$  dal piano principale posteriore del sistema è detto fuoco posteriore. La differenza

$$f' = a_f' - a_p' = N' A_{\eta}^*, \quad (3.24)$$

è detta distanza focale posteriore. Analogamente, si definisce la distanza focale anteriore  $f$

$$f = a_f - a_p = -N A_{\eta}^* \quad (3.25)$$

ed il fuoco anteriore  $F$ .

Per concludere questa sezione chiameremo punti nodali di un sistema ottico quei punti coniugati sull' asse ottico  $Q, Q'$  tali che a un qualunque raggio uscente da Q ne corrisponda uno da  $Q'$  parallelo al primo. Dalla condizione di parallelismo

$$\frac{p}{N} = \frac{p'}{N'}, \quad \frac{q}{N} = \frac{q'}{N'}, \quad (3.26)$$

tenuto conto della 3.16 in cui poniamo  $x = 0, y = 0$ , segue

$$2N A_{\xi} + N' A_{\eta} = 0. \quad (3.27)$$

Questa relazione, usando la 3.17, diviene

$$2N' A_{\xi'} + N A_{\eta} = 0. \quad (3.28)$$

Confrontando la 3.28 con la 3.23 si può concludere che i punti nodali coincidono con i fuochi quando  $N = N'$ . Tutti i risultati precedenti possono essere riassunti come segue:

*Nell' approssimazione parassiale, un sistema ottico fornisce un' immagine nitida di qualunque piano oggetto  $\pi$  nel corrispondente piano immagine  $\pi'$ . Nelle trasformazioni dal piano oggetto al piano immagine gli angoli non sono modificati mentre le lunghezze variano di un fattore costante  $M$ .*

### 3.5 La relazione di Huygens

Spesso risulta conveniente esprimere le relazioni 3.18 in termini delle distanze  $d, d'$  dei piani principali dai piani oggetto ed immagine. poiché

$$d = a - a_p, \quad d' = a' - a'_p, \quad (3.29)$$

le 3.18 assumono la forma

$$\left(2A_{\xi'}^* + \frac{d'}{N'} + \frac{a'_p}{N'}\right) \left(2A_{\xi}^* + \frac{d}{N} + \frac{a_p}{N}\right) - A_{\eta}^{*2} = 0 \quad (3.30)$$

che con un po' di algebra può essere posta nella forma

$$\left(\frac{d'}{N'} - A_{\eta}^*\right) \left(A_{\eta}^* + \frac{d}{N}\right) + A_{\eta}^{*2} = 0, \quad (3.31)$$

che implica

$$\frac{d'}{N'} \frac{d}{N} + \frac{d'}{N'} A_{\eta}^* - \frac{d}{N} A_{\eta}^* = 0. \quad (3.32)$$

Dopo un ultimo passaggio si arriva a

$$\frac{N'}{d'} - \frac{N}{d} = \frac{1}{A_{\eta}^*} = \frac{N'}{f'} = -\frac{N}{f} \quad (3.33)$$

che è la nota relazione di Huygens.

### 3.6 La funzione angolare di una superficie nel limite dell' ottica Gaussiana

Dalla definizione della funzione angolare  $T$ , si può derivare la sua espressione. Siano  $\mathbf{p}$  e  $\mathbf{p}'$  le direzioni dei raggi uscenti,  $\mathbf{r}$  ed  $\mathbf{r}'$  i vettori uscenti dalle origini degli spazi oggetto ed immagine ed aventi come coordinate quelle del punto

$P$ , intersezione tra il raggio e la superficie, allora la funzione angolare assume la forma

$$T = \mathbf{p}\mathbf{r} - \mathbf{p}'\mathbf{r}'. \quad (3.34)$$

Per la convenzione adottata nella scelta dei riferimenti si ha

$$x' = x, \quad y' = y, \quad z' = z - (a - a'),$$

e si riscrive  $T$  come

$$T = (p - p')x + (q - q')y + (r - r')z + r'(a - a'). \quad (3.35)$$

D'altro canto, le coordinate del punto  $P$ , in cui il raggio interseca la superficie  $S$ , devono minimizzare la lunghezza del cammino ottico, ovvero la funzione

$$T(x, y, z) + \lambda F(x, y, z),$$

dove  $\lambda$  è un moltiplicatore di Lagrange e  $F(x, y, z) = z - z(x, y) = 0$  è l'equazione di  $S$ . La condizione necessaria per un minimo si scrive come

$$\nabla(T + \lambda F) = 0 \quad (3.36)$$

o equivalentemente,

$$p - p' = \lambda \frac{\partial z}{\partial x}, \quad q - q' = \lambda \frac{\partial z}{\partial y}, \quad r - r' = -\lambda. \quad (3.37)$$

Sostituendo il valore di  $\lambda$  ricavato dalla terza equazione nelle altre, si ha

$$\frac{p - p'}{r - r'} = \lambda \frac{\partial z}{\partial x}, \quad \frac{q - q'}{r - r'} = \lambda \frac{\partial z}{\partial y}, \quad r - r' = -\lambda. \quad (3.38)$$

Fino ad ora sono state utilizzate relazioni esatte. Si è interessati a relazioni per l'ottica parassiale, si inizi con lo scrivere l'espressione approssimata della superficie  $S$  che fino al secondo ordine è

$$z = \frac{(x^2 + y^2)}{2R} + O(4), \quad (3.39)$$

dove  $R$  è il raggio di curvatura della superficie. Le espressioni di  $r$  ed  $r'$  al medesimo ordine di approssimazione sono

$$r = N - \frac{1}{2N}(p^2 + q^2) + O(4), \quad r' = N' - \frac{1}{2N'}(p'^2 + q'^2) + O(4). \quad (3.40)$$

Sostituendo nelle 3.38, dopo alcuni calcoli, si ha infine l'espressione della funzione angolare per una superficie nel limite di Gauss

$$T = aN - a'N' + A_\xi \xi + A_{\xi'} \xi' + A_\eta \eta, \quad (3.41)$$

dove

$$A_\xi = -\frac{a}{2N} + A_\xi^*, \quad (3.42a)$$

$$A'_\xi = -\frac{a'}{2N'} + A_\xi'^*, \quad (3.42b)$$

$$A_\eta = A_\eta^*, \quad (3.42c)$$

$$2A_\xi^* = 2A_{\xi'}^* = -A_\eta^* = \frac{R}{N' - N} \quad (3.42d)$$

### 3.7 La funzione angolare di un sistema ottico composto

Sia  $K$  un sistema ottico composto da  $n$  sottosistemi  $K_1, \dots, K_n$  di cui sono note le singole funzioni angolari  $T_1, \dots, T_n$ . Dalla definizione di lunghezza di un cammino ottico si ha

$$T = \sum_{i=1}^n T_i. \quad (3.43)$$

Si osservi che ogni termine della sommatoria dipende dalle  $p_i, p'_i, q_i, q'_i$ , quindi la funzione angolare  $T$  dell'intero sistema dipende da tutte le variabili  $p_i, p'_i, q_i, q'_i$   $i = 1, \dots, n$ . Se si vogliono usare le 3.3, bisogna prima porre la 3.43 in una forma dove compaiono dipendenze solo dalle  $p_1, q_1, p'_n, q'_n$ . Osservando che lo spazio immagine di  $K_i$  coincide con lo spazio oggetto di  $K_{i+1}$ , si ha

$$p'_i = p_{i+1} \quad q'_i = q_{i+1} \quad i = 1, \dots, n-1, \quad (3.44)$$

la funzione angolare può essere riscritta come

$$T = T_1(p_1, q_1, p'_1, q'_1) + T_2(p'_1, q'_1, p'_2, q'_2) + \dots + T_n(p'_{n-1}, q'_{n-1}, p'_n, q'_n), \quad (3.45)$$

rimangono da eliminare  $2(n-1)$  variabili  $p'_1, q'_1, \dots, p'_{n-1}, q'_{n-1}$ . Secondo il principio di Fermat, la lunghezza del cammino ottico lungo un raggio è stazionaria. Allora, assegnando le  $p_1, q_1, p'_n, q'_n$ , le derivate di  $T$  rispetto alle altre variabili si annullano

$$\frac{\partial T}{\partial p'_i} = \frac{\partial T_i}{\partial p'_i} + \frac{\partial T_{i+1}}{\partial p'_i} = 0, \quad (3.46)$$

$$\frac{\partial T}{\partial q'_i} = \frac{\partial T_i}{\partial q'_i} + \frac{\partial T_{i+1}}{\partial q'_i} = 0, \quad i = 1, \dots, n-1. \quad (3.47)$$

La 3.41 ci permette di dare al sistema precedente la forma

$$2(A_{\xi'_i} + A_{\xi_{i+1}})p'_i + A_{\eta_{i+1}}p'_{i+1} = 0, \quad 2(A_{\xi'_i} + A_{\xi_{i+1}})q'_i + A_{\eta_{i+1}}q'_{i+1} = 0, \quad (3.48a)$$

da cui si ricava

$$p'_i = D_i p_i + D'_i p'_{i+1}, \quad q'_i = D_i q_i + D'_i q'_{i+1}. \quad (3.49a)$$

dove si è posto

$$D_i = -\frac{A_{\eta_i}}{2(A_{\xi'_i} + A_{\xi_{i+1}})}, \quad D'_i = -\frac{A_{\eta_{i+1}}}{2(A_{\xi'_i} + A_{\xi_{i+1}})}. \quad (3.50a)$$

Il sistema 3.49 permette di esprimere le incognite  $p'_i, q'_i$   $i = 1, \dots, n-1$  nelle  $p_1, q_1, p'_n, q'_n$ .

Il procedimento descritto fin qui verrà applicato ad una lente di spessore  $d$  ed indice di rifrazione  $N$ . In questo caso avremo due superfici ottiche  $S_1, S_2$ , la cui distanza *lungo l'asse ottico* è  $d$ . Per calcolare la funzione angolare intrinseca del sistema  $T^*$ , si fissino i piani base in modo che siano tangenti alle due superfici nei punti di intersezione con l'asse ottico. Utilizzando la 3.41 e le 3.42 ed osservando che in queste formule  $a'$  è stato sostituito con  $-d$ , si ricava l'espressione

$$T^* = \frac{1}{2P_1} \xi_1 + \frac{1}{2} \left( \frac{1}{P_1} - \frac{d}{N} \right) \xi'_1 - \frac{1}{P_1} \eta_1 + \frac{1}{2P_2} \xi_2 + \frac{1}{2P_2} \xi'_2 - \frac{1}{P_2} \eta_2, \quad (3.51)$$

Da cui, tenendo conto delle 3.48 le 3.49 si riducono alle

$$p'_1 = \frac{1}{P_1 + P_2 - \frac{d}{N} P_1 P_2} (P_2 p_1 + P_2 p'_2), \quad (3.52)$$

$$q'_1 = \frac{1}{P_1 + P_2 - \frac{d}{N} P_1 P_2} (P_2 q_1 + P_2 q'_2). \quad (3.53)$$

Sostituendo queste relazioni nell'espressioni trovate per  $T^*$  otteniamo

$$T^* = \frac{1}{2\mu} \left[ \left( 1 - \frac{d}{N} P_2 \right) \xi_1 + \left( 1 - \frac{d}{N} P_1 \right) \xi'_2 - 2\eta \right], \quad (3.54)$$

dove si è posto per brevità

$$\mu = \frac{1}{P_1 + P_2 - \frac{d}{N} P_1 P_2}. \quad (3.55)$$

Possiamo ovviamente identificare i coefficienti nella 3.54 nel modo seguente

$$A_{\xi'_i}^* = \frac{1}{2\mu} \left( 1 - \frac{d}{N} P_1 \right), \quad A_{\xi_i}^* = \frac{1}{2\mu} \left( 1 - \frac{d}{N} P_2 \right), \quad A_{\eta}^* = -\frac{1}{\mu}. \quad (3.56)$$



## 3.8 Vignettatura

Una delle aberrazioni di un sistema ottico centrato, già presente a questo livello di descrizione, è la vignettatura. Questa aberrazione consiste in una caduta di luminosità che si può osservare allontanandosi dal centro del piano immagine ed è dovuta alla dimensione finita delle lenti che compongono il sistema ottico. Infatti, non tutti i raggi che entrano nello strumento raggiungono il piano immagine, ma possono essere bloccati dalle montature delle lenti. Si consideri un oggetto esteso, illuminato uniformemente e posto a distanza finita dalla pupilla d'entrata<sup>1</sup>. Si prendano in considerazione due punti  $P_0$ ,  $P_1$ , il primo sull'asse ottico il secondo sulla retta ortogonale all'asse ottico passante per il punto  $P_0$ . Si considerino anche la prima superficie e l'immagine nello spazio oggetto dell'ultima superficie. Le immagini di queste superfici, proiettate nello spazio oggetto sono tre cerchi, detti anche aperture. Queste pongono dei limiti alla quantità di luce (e quindi all'energia da essa trasportata) che può raggiungere lo spazio immagine. Tali limiti variano con la distanza dall'asse dell'oggetto. Per trovare i raggi luminosi che attraversano il sistema da un dato punto oggetto si traccino dal punto  $P_0$  i coni aventi come base le aperture e si proiettino su un piano ortogonale all'asse ottico. L'intersezione di questi tre cerchi sarà proporzionale alla quantità di luce proveniente da  $P_0$  ed è la massima che si può ottenere. Tracciando ora i coni da  $P_1$  e prendendone l'intersezione si ottiene una complicata figura anch'essa proporzionale alla luce proveniente da  $P_1$  che raggiunge il piano immagine.

Si assuma che l'oggetto, la prima superficie e l'immagine dell'ultima superficie giacciono rispettivamente a distanza  $s$ ,  $s_A$ , e  $s_B$  dalla pupilla d'entrata e che l'immagine dell'ultima superficie sono cerchi di raggi  $A$ ,  $P$ ,  $B$ . La proiezione di questi cerchi sulla pupilla d'entrata da un punto di coordinate  $x = 0$ ,  $y = h$ , nel piano oggetto è data da

$$x^2 + y^2 = P^2 \quad x^2 + (y - h)^2 = P_A^2 \quad x^2 + (y - t_B)^2 = P_B^2 \quad (3.57)$$

con

$$t_A = \frac{s_A}{s_A - s} \quad t_B = \frac{s_B}{s_B - s} \quad P_A = \frac{s_A}{s_A - s} \quad P_B = \frac{s_B}{s_B - s}. \quad (3.58)$$

Se un oggetto è posto all'infinito, un punto assiale è equivalente ad un fascio di raggi paralleli all'asse ottico, se il punto fuori asse il punto è equivalente

---

<sup>1</sup>Un diaframma è un dispositivo di piccole dimensioni longitudinali atto a limitare la quantità di luce che attraversa un sistema ottico. Può essere posto all'interno dello strumento, in tal caso si definisce pupilla d'entrata (risp. uscita) l'immagine gaussiana del piano del diaframma attraverso lo strumento nello spazio oggetto (risp. immagine).

ad un fascio di raggi paralleli che formano un angolo  $\alpha$  con l'asse. Si ha per i tre cerchi delle relazioni precedenti

$$t_A = s_A \tan \alpha \quad P_A = A \quad (3.59)$$

$$t_B = s_B \tan \alpha \quad P_B = B \quad (3.60)$$

Il problema è stato qui esposto in una forma semplificata, si sono prese in considerazione solo tre superfici, invece di tutte le superfici che compongono il sistema. La sostanza del problema non cambia, le relazioni date vanno applicate per tutte le superfici che compongono il sistema. Va anche osservato che le sole leggi dell'ottica di Gauss, danno una soluzione approssimata al problema della vignettatura. Una sua completa comprensione è possibile grazie alle leggi della fotometria.

### 3.9 Sfocatura e profondità di campo

Si è visto che un sistema ottico centrato, nel limite dell'ottica Gaussiana, fa convergere tutti i raggi provenienti da un punto del piano oggetto in un punto del piano immagine, questa situazione si verifica per tutti e soli i punti del piano oggetto che andranno a formare un'immagine a fuoco sul piano immagine. Questa affermazione sembra contraddire l'osservazione. Infatti è esperienza comune vedere fotografie in cui oggetti molto distanti tra loro sono contemporaneamente a fuoco, ad esempio una persona in primo piano e sullo sfondo un panorama perfettamente nitido.

Si consideri un oggetto puntiforme, situato a distanza  $p$  (piano oggetto) da un obiettivo focalizzato a distanza  $q$  (piano immagine) dall'ultima superficie ottica. Si consideri un altro punto posto a distanza  $p + \Delta p$  dall'obiettivo. I raggi uscenti da questo punto attraverseranno il proprio punto coniugato prima (o dopo) aver raggiunto il piano immagine. Se il punto si trova sull'asse ottico i raggi uscenti dal sistema ottico formeranno una sezione di cono, così sul piano immagine si formerà il cosiddetto cerchio di confusione, che ha diametro  $d$ . Il diametro della pupilla d'entrata sia  $D$ . Utilizzando la relazione di Huygens ed esprimendo le dimensioni della pupilla d'entrata e del cerchio di confusione in funzione delle distanze  $p, q$  si può ricavare ad esempio se gli indici di rifrazione degli spazi oggetto ed immagine sono uguali si ricava

$$\frac{1}{p} + \frac{1}{q} = \frac{1}{f}, \quad \frac{1}{p + \Delta p} + \frac{1}{q - \Delta q} = \frac{1}{f} \quad (3.61)$$

$$\frac{d}{2} \simeq \beta \Delta q, \quad \frac{D}{2} \simeq \beta (q - \Delta q) \quad (3.62)$$

Ricavando l' espressione del cerchio di confusione in funzione delle altre grandezze in gioco si arriva a

$$d = \frac{pq(p + \Delta p)}{q\Delta p + p\Delta p + p^2} \simeq D \frac{q\Delta p}{p^2} \quad (3.63)$$

quindi al crescere dell' apertura del diaframma le dimensioni del cerchio di confusione aumentano. Perciò fissati  $p, q$  e stabilito come tollerabile (per esempio in relazione con la grana della pellicola fotografica o la risoluzione dell' occhio umano) un cerchio di confusione di diametro  $d$  la profondità di campo  $\Delta p$  è inversamente proporzionale al diametro  $D$  di apertura della lente,

$$\Delta p = \frac{-(dp^2) + p^2 q}{dp + dq - pq} \quad (3.64)$$

inoltre la profondità di campo aumenta quando si focalizza l' obiettivo su distanze  $p$  maggiori. E' proprio sfruttando questa proprietà di tutti i sistemi ottici che vengono prodotte macchine fotografiche prive del sistema di messa a fuoco, in cui l' obiettivo viene focalizzato sulla distanza che massimizza  $\Delta p$ , detta iperfocale. Sempre sfruttando questa proprietà e grazie ad una opportuna scala posta sull' obiettivo, i fotografi possono scattare in situazioni poco agevoli conoscendo solo l' intervallo di distanze in cui si troverà il soggetto, al resto provvederà la profondità di campo.

# Capitolo 4

## Le aberrazioni dei sistemi ottici centrati

### 4.1 Definizioni e prime proprietà

Come si è già osservato, nel limite dell'ottica gaussiana, le trasformazioni tra piani coniugati sono ortoscopiche, ovvero ad un punto nello spazio oggetto corrisponde un punto nello spazio immagine ed a un piano corrisponde un piano. Si conservano anche gli angoli tra i vettori nella trasformazione tra lo spazio oggetto e quello immagine: un'immagine bidimensionale è riprodotta fedelmente. Purtroppo l'approssimazione gaussiana non è sufficientemente accurata nella maggior parte dei casi e nella progettazione di un sistema ottico vanno presi in considerazione contributi di ordine maggiore al primo al fine di minimizzarli. Dopo che un raggio luminoso ha attraversato un discreto numero di superfici risulta piuttosto laborioso esprimerlo in funzione dei valori iniziali. Un sistema ottico centrato  $K$ , stabilisce una corrispondenza tra i raggi di direzione  $(p, q)$  uscenti dal punto  $(x, y)$  appartenenti allo spazio oggetto e le corrispondenti grandezze dello spazio immagine. Questa corrispondenza assume la forma

$$x' = x'(x, y, p, q), \quad y' = y'(x, y, p, q), \quad (4.1a)$$

$$p' = p'(x, y, p, q), \quad q' = q'(x, y, p, q). \quad (4.1b)$$

Nell'approssimazione di Gauss queste relazioni si riducono a

$$x' = Mx, \quad y' = My, \quad (4.2a)$$

$$p' = \frac{N'}{f}x - Mp, \quad q' = \frac{N'}{f}y - Mq. \quad (4.2b)$$

Il vettore di aberrazione è definito come quel vettore le cui componenti sono espresse dalle differenze

$$\varepsilon_x = x' - Mx, \quad (4.3a)$$

$$\varepsilon_y = y' - My. \quad (4.3b)$$

Il significato fisico del vettore di aberrazione è evidente: le sue componenti si annullano se e solo se il comportamento del sistema ottico coincide con quello previsto dall'ottica di Gauss. Il problema principale della teoria delle aberrazioni è determinare l'espressione analitica delle 4.3 in funzione delle coordinate dell'oggetto, della direzione dei raggi uscenti e delle caratteristiche del sistema ottico  $K$ . Iniziamo a ricavare le prime proprietà sulle aberrazioni ottiche. E' noto che lo sviluppo in serie della funzione principale angolare non presenta potenze dispari delle  $p, q, p', q'$ , la sua espressione può essere scritta come

$$T = \sum_n T_{2n}. \quad (4.4)$$

Di conseguenza, poiché le aberrazioni saranno ricavate dalla derivazione della funzione angolare presenteranno solo potenze dispari delle  $(p, q, p', q')$ . Tale importante informazione si sarebbe potuta ricavare anche da un'attenta analisi della forma dell'espressione del raggio, infatti si può dimostrare che le 4.1 possono essere poste nella forma

$$x'_\alpha(x, y, p, q) = p_\alpha h(u, v, w) + x_\alpha k(u, v, w) \quad \alpha = 1, 2 \quad (4.5)$$

con  $u = x^2 + y^2$ ,  $v = p^2 + q^2$ ,  $w = px + qy$  e  $h$  e  $k$  sono funzioni opportune. Lo sviluppo in serie nelle  $(x, y, p, q)$  in un intorno del punto  $(0, 0, 0, 0)$  della 4.5 è equivalente a

$$x' = p \sum_n h_n + x \sum_n k_n \quad (4.6)$$

dove  $h_n$  e  $k_n$  sono i termini  $n$ -simi dello sviluppo in serie di Taylor delle funzioni  $h$  e  $k$  nelle  $(u, v, w)$ . Tale analisi non presenta altri vantaggi, e quindi si tornerà a riferirsi all'utilizzo della funzione angolare.

I primi due addendi dello sviluppo di  $T$  sono responsabili del comportamento Gaussiano del sistema ottico in esame, il termine successivo, responsabile delle aberrazioni del terzo ordine, è

$$T_4 = A_{\xi\xi}\xi^2 + A_{\xi'\xi'}\xi'^2 + A_{\eta\eta}\eta^2 + A_{\xi\eta}\xi\eta + A_{\xi\xi'}\xi\xi' + A_{\xi'\eta}\xi'\eta. \quad (4.7)$$

Il vettore di aberrazione avrà di conseguenza la seguente espressione

$$\varepsilon_x = -(4A_{\xi'\xi'}p'\xi + 4A_{\eta\eta}p\eta + A_{\xi\eta}\xi p' + 2A_{\xi\xi'}\xi p' + A_{\xi'\eta}(2p'\eta + \xi'p)), \quad (4.8)$$

$$\varepsilon_y = -(4A_{\xi'\xi'}q'\xi + 4A_{\eta\eta}q\eta + A_{\xi\eta}\xi q' + 2A_{\xi\xi'}\xi q' + A_{\xi'\eta}(2q'\eta + \xi'q)). \quad (4.9)$$

Si può ricavare un' espressione del vettore di aberrazione in funzione delle sole variabili dello spazio oggetto. Infatti, visto che siamo interessati a relazioni di terzo grado, si possono sostituire alle  $(p', q')$  delle relazioni lineari nelle coordinate dello spazio oggetto senza introdurre errori apprezzabili. Tali relazioni sono quelle dell' ottica Gaussiana 4.2; si ha quindi

$$\begin{aligned} \varepsilon_x = p & \left[ M (4A_{\xi'\xi'} + 4A_{\eta\eta} + A_{\xi\eta} + 2A_{\xi\xi'} - 3A_{\xi'\eta}) \xi - A_{\xi'\eta} \frac{N'^2}{f^2} u + 4 \frac{N'}{f} (MA_{\xi'\eta} - A_{\xi\eta}) w \right] \\ & + x \left[ \left( 2A_{\eta\eta} \frac{MN'}{f} - 4A_{\xi'\xi'} \frac{N'}{f} - A_{\xi\xi'} \frac{N'}{f} \right) \xi + \left( 4A_{\eta\eta} \frac{MN'}{f} - A_{\eta\eta} \frac{N'^2}{f^2} \right) w \right], \end{aligned} \quad (4.10)$$

$$\begin{aligned} \varepsilon_y = q & \left[ M (4A_{\xi'\xi'} + 4A_{\eta\eta} + A_{\xi\eta} + 2A_{\xi\xi'} - 3A_{\xi'\eta}) \xi - A_{\xi'\eta} \frac{N'^2}{f^2} u + 4 \frac{N'}{f} (MA_{\xi'\eta} - A_{\xi\eta}) w \right] \\ & + y \left[ \left( 2A_{\eta\eta} \frac{MN'}{f} - 4A_{\xi'\xi'} \frac{N'}{f} - A_{\xi\xi'} \frac{N'}{f} \right) \xi + \left( 4A_{\eta\eta} \frac{MN'}{f} - A_{\eta\eta} \frac{N'^2}{f^2} \right) w \right], \end{aligned} \quad (4.11)$$

dove si è posto  $u = x^2 + y^2$  e  $w = px + qy$ . Si osservi che in questa espressione del vettore di aberrazione compaiono solo cinque dei sei coefficienti della funzione angolare, questo si rifletterà nel fatto che sono solo cinque i coefficienti di aberrazione indipendenti del terzo ordine che determinano la qualità dell' immagine. La conoscenza del sesto coefficiente è necessaria per caratterizzare completamente la varietà dei raggi dello spazio immagine in cui il sistema ottico trasforma i raggi dello spazio oggetto. Ad esempio per determinare le aberrazioni per una qualunque coppia di piani coniugati e non solo per quella scelta inizialmente.

## 4.2 Le variabili di von Seidel

Si possono ottenere ulteriori semplificazioni nei calcoli introducendo delle nuove coordinate che avranno il pregio di **rimanere costanti** durante la rifrazione e la riflessione nel limite dell' ottica del primo ordine. Per valutare gli effetti di un diaframma all' interno di un sistema ottico centrato conviene introdurre altri piani di riferimento. Sia  $\pi_d$  il piano in cui è posto il diaframma, si indicherà con  $\pi_e$  il piano dello spazio oggetto coniugato nell' ottica di Gauss a  $\pi_d$ , analogamente il piano coniugato a  $\pi_d$  nello spazio immagine si indicherà con  $\pi'_e$ . I due piani  $\pi_e, \pi'_e$  sono detti rispettivamente piano della pupilla d' entrata e d' uscita. Se non è presente un diaframma nello strumento la pupilla d' entrata coincide con il piano tangente al vertice della prima superficie dello strumento, quello di uscita è la sua immagine nell' ottica di

Gauss. Siano  $\pi$ ,  $\pi_e$  rispettivamente il piano oggetto ed il piano della pupilla d'entrata di equazioni  $z = z_o$ ,  $z = z_e$  e  $\pi'$ ,  $\pi'_e$  i loro coniugati nel senso dell'ottica di Gauss (rispettivamente piano immagine e piano della pupilla d'uscita) identificati da  $z = z'$ ,  $z = z'_e$ , siano  $l$ ,  $l_e$  due lunghezze di riferimento sui primi due piani ed  $l'$ ,  $l'_e$  altre due lunghezze di riferimento sui piani  $\pi'$ ,  $\pi'_e$  scelte in modo da avere

$$\frac{l'}{l} = M, \quad \frac{l'_e}{l_e} = M_e, \quad (4.12)$$

dove  $M$  ed  $M_e$  sono gli ingrandimenti relativi alle coppie dei piani oggetto-immagine e pupilla d'ingresso-uscita. La quantità  $J$  definita come

$$J = \frac{N l l_e}{z_e - z_o} = \frac{N' l' l'_e}{z'_e - z'}. \quad (4.13)$$

rimane costante nel limite dell'ottica geometrica. Si possono ora definire le nuove variabili  $X$ ,  $X'$  come

$$X = J \frac{x}{l}, \quad Y = J \frac{y}{l}, \quad (4.14)$$

$$X' = J \frac{x'}{l'}, \quad Y' = J \frac{y'}{l'}. \quad (4.15)$$

A partire da questa definizione e dalle 4.2 possiamo introdurre altre coppie di variabili al posto delle  $(p, q)$   $(p', q')$ . Se con  $x_e$ ,  $y_e$  ( $x'_e$ ,  $y'_e$ ) si indicano le coordinate di un punto sul piano della pupilla d'ingresso (d'uscita) abbiamo, nel limite dell'ottica di Gauss

$$X_e = \frac{x_e}{l_e} + \frac{(z_e - z_o) p}{l_e N}, \quad X'_e = \frac{x'_e}{l'_e} + \frac{(z'_e - z') p'}{l'_e N'}, \quad (4.16)$$

$$Y_e = \frac{y_e}{l_e} + \frac{(z_e - z_o) q}{l_e N}, \quad Y'_e = \frac{y'_e}{l'_e} + \frac{(z'_e - z') q'}{l'_e N'}. \quad (4.17)$$

Si osservi che il secondo insieme di variabili a differenza del primo è adimensionale.

Le  $X$ ,  $X'$ ,  $Y$ ,  $Y'$ ,  $X_e$ ,  $X'_e$ ,  $Y_e$ ,  $Y'_e$  vengono dette variabili di Seidel. L'utilità delle variabili di Seidel si rivelerà nel prossimo paragrafo quando sarà dimostrato il teorema di addizione delle aberrazioni del terzo ordine, che permetterà di comporre agevolmente le aberrazioni del terzo ordine di sistemi ottici complessi sfruttando la costanza delle nuove coordinate nel passaggio attraverso il sistema ottico.

### 4.3 L' iconale di Schwarzschild

**Definizione 7** *Se si scrive la funzione angolare in funzione delle nuove coordinate testè ricavate, e si aggiunge ad essa una nuova funzione  $\psi$  in modo*

che si abbia

$$\frac{\partial}{\partial X'_e} (T + \psi) = X' - X, \quad \frac{\partial}{\partial Y'_e} (T + \psi) = Y' - Y, \quad (4.18a)$$

$$\frac{\partial}{\partial X_e} (T + \psi) = X'_e - X_e, \quad \frac{\partial}{\partial Y_e} (T + \psi) = Y'_e - Y_e \quad (4.18b)$$

si ottiene una funzione  $S = T + \psi$  detta **iconale di Schwarzschild**; l'espressione di  $\psi$  è

$$\psi = \frac{z_e - z_o}{2N_e'^2} (X^2 + Y^2) - \frac{z'_e - z'}{2N_e'^2} (X'^2 + Y'^2) + (X'_e - X_e) X + (Y'_e - Y_e) Y. \quad (4.19)$$

Si scriva lo sviluppo in serie di  $S$  fino al quarto ordine, che, come le altre funzioni principali, conterrà solo potenze pari delle  $(x, y)$  e delle  $(p, q)$ . Tenendo presente la costanza delle variabili di Seidel e le 4.18, si evince che il termine di ordine si annulla. E' ora possibile scrivere a quest'ordine di approssimazione l'iconale come

$$S = S_0 + AR^4 + BR_e^4 + Ck^2 + DR^2R_e^2 + ER^2k + FR_e^2k \quad (4.20)$$

con  $R^2 = X^2 + Y^2$ ,  $R_e^2 = X_e^2 + Y_e^2$ ,  $k = XX_e + YY_e$ .

Applicando le 4.18 si ricava il vettore di aberrazione nelle nuove coordinate

$$\alpha\varepsilon_x = (2Ck^2 + ER^2 + FR_e'^2) X + (BR_e'^2 + DR^2 + 2Fk^2) X'_e, \quad (4.21)$$

$$\alpha\varepsilon_y = (2Ck^2 + ER^2 + FR_e'^2) Y + (BR_e'^2 + DR^2 + 2Fk^2) Y'_e. \quad (4.22)$$

con  $\alpha = \frac{N_e'}{z'_e}$ . Poiché  $\psi$  è una funzione quadratica delle variabili di Seidel, il termine del quarto ordine dell'iconale coincide con il termine del quarto ordine della funzione angolare.

## 4.4 Il teorema di addizione delle aberrazioni del terzo ordine

Sarà ora dimostrato il teorema di addizione delle aberrazione del terzo ordine utilizzando l'iconale di Schwarzschild. Risulteranno fondamentali le proprietà delle variabili di Seidel.



Sia  $K$  un sistema ottico composto da due superfici  $K_1, K_2$ , e siano  $S_1, S_2$ , le rispettive iconali di equazione

$$S_1 = T_1 + \frac{z_{e1}}{2N_1l_{e1}^2} (X_1^2 + Y_1^2) - \frac{z'_{e1}}{N'_{e1}l'_{e1}} (X_1'^2 + Y_1'^2) + (X'_{e1} - X_{e1}) X_1 + (Y'_{e1} - Y_{e1}) Y_1, \quad (4.23)$$

$$S_2 = T_2 + \frac{z_{e2}}{2N_2l_{e2}^2} (X_2^2 + Y_2^2) - \frac{z'_{e2}}{N'_{e2}l'_{e2}} (X_2'^2 + Y_2'^2) + (X'_{e2} - X_{e2}) X_2 + (Y'_{e2} - Y_{e2}) Y_2. \quad (4.24)$$

L' iconale del sistema completo sarà

$$S_1 = T_1 + \frac{z_{e1}}{2N_1l_{e1}^2} (X_1^2 + Y_1^2) - \frac{z'_{e2}}{N'_{e2}l'_{e2}} (X_2'^2 + Y_2'^2) + (X'_{e2} - X_{e1}) X_1 + (Y'_{e2} - Y_{e1}) Y_1. \quad (4.25)$$

Ricordando che  $z'_{e1} = z_{e2}$ ,  $l'_{e1} = l_{e2}$  e che le variabili di Seidel non variano, entro termini di Gauss nel passaggio tra i vari spazi oggetto ed immagine, si ottiene

$$S = S_1 + S_2 + (X_1 - X'_1) (X'_{e2} - X_{e2}) + (Y_1 - Y'_1) (Y'_{e2} - Y_{e2}) \quad (4.26)$$

ed usando le 4.18

$$S = S_1 + S_2 + \frac{\partial S}{\partial X'_{e1}} \frac{\partial S}{\partial X_2} + \frac{\partial S}{\partial Y'_{e1}} \frac{\partial S}{\partial Y_2} \quad (4.27)$$

Si sviluppi ora in serie di Taylor. Dall' assenza di termini del secondo ordine e ricordando le 4.18 si ottiene che

$$S = S_1^{(0)} + S_2^{(0)} + S_1^{(4)} + S_2^{(4)} \quad (4.28)$$

dove

$$S_i^{(4)} = A_i R_i^4 + B_i R_{ei}^4 + C_i k_i^2 + D_i R_i^2 R_{ie}^2 + E_i R_i^2 k_i + F_i R_e^2 k_i \quad i = 1, 2 \quad (4.29)$$

con ovvio significato della notazione usata. La costanza delle variabili di Seidel ci permette di scrivere

$$S^{(4)} = (A_1 + A_2) R^4 + (B_1 + B_2) R_e^4 + (C_1 + C_2) k^2 + (D_1 + D_2) R^2 R_e^2 + (E_1 + E_2) R^2 k + (F_1 + F_2) R_e^2 k. \quad (4.30)$$

Si può ora enunciare il seguente

**Teorema 8** *Ogni coefficiente di aberrazione di un sistema ottico centrato è la somma dei corrispondenti coefficienti delle singole superfici che compongono il sistema.*

## 4.5 Sviluppo al quarto ordine della funzione angolare

Si proceda ora allo sviluppo della funzione angolare, che permetterà di esprimere i coefficienti di aberrazione in funzione delle caratteristiche fisiche del sistema. Si seguirà la stessa via utilizzata nel capitolo precedente, quando sono stati calcolati i primi termini dello sviluppo. Si parta dall'espressione generale della funzione angolare

$$T = (p - p')x + (q - q')y + (r - r')z + r'a' - ra, \quad (4.31)$$

dove è stato indicato con  $P = (x, y, z)$  il punto d'intersezione tra  $S$  e il raggio  $\mathbf{p}$ . Le coordinate del punto di intersezione devono estremizzare la lunghezza del cammino ottico, ossia la funzione

$$T(x, y, z) + \lambda F(x, y, z), \quad (4.32)$$

dove  $\lambda$  è un moltiplicatore di Lagrange e  $F(x, y, z) = z - z(x^2 + y^2) = 0$  è l'equazione della superficie  $S$ . La condizione necessaria per un estremo è

$$\frac{\partial T}{\partial x} + \lambda \frac{\partial F}{\partial x} = 0, \quad \frac{\partial T}{\partial y} + \lambda \frac{\partial F}{\partial y} = 0, \quad \frac{\partial T}{\partial z} + \lambda \frac{\partial F}{\partial z} = 0, \quad (4.33)$$

o esplicitamente

$$p - p' = \lambda \frac{\partial z}{\partial x}, \quad q - q' = \lambda \frac{\partial z}{\partial y}, \quad r - r' = -\lambda. \quad (4.34)$$

Sostituendo la terza relazione nelle altre si ricava

$$\frac{p - p'}{r - r'} = -\frac{\partial z}{\partial x}, \quad \frac{q - q'}{r - r'} = -\frac{\partial z}{\partial y}. \quad (4.35)$$

Si espliciti l'equazione della superficie  $S$  entro termini del quarto ordine

$$z = \frac{1}{2R_c} (x^2 + y^2) + \frac{(1 + K)}{8R_c^3} (x^2 + y^2)^2. \quad (4.36)$$

Sempre entro termini del quarto ordine,

$$r = N - \frac{1}{2N} (p^2 + q^2) + O(4), \quad r' = N' - \frac{1}{2N'} (p'^2 + q'^2) + O(4) \quad (4.37)$$

e

$$\frac{1}{r - r'} = \frac{1}{N' - N} \left[ 1 - \frac{1}{2N(N' - N)} (p^2 + q^2) + \frac{1}{2N'(N - N')} (p'^2 + q'^2) \right]. \quad (4.38)$$

Inserendo gli sviluppi in serie sin qui trovati nella 4.31 dopo semplici, ma noiosi calcoli, si arriva all' espressione di  $T$  al quarto ordine

$$\begin{aligned}
T_4 = & \frac{1}{8Nz} \left\{ \frac{NR_c}{(N' - N)^2} \left[ (p - p')^2 + (q - q')^2 \right] - \frac{z}{N} (p^2 + q^2) \right\} \\
& - \frac{1}{8N'z'} \left\{ \frac{N'R_c}{(N' - N)^2} \left[ (p - p')^2 + (q - q')^2 \right] - \frac{z'}{N'} (p'^2 + q'^2) \right\} \quad (4.39a) \\
& - \frac{KR_c}{8(N' - N)^3} \left[ (p - p')^2 + (q - q')^2 \right].
\end{aligned}$$

## 4.6 I coefficienti di aberrazione del terzo ordine

Per avere l' espressione esplicita dei coefficienti di aberrazione è necessario esprimere  $T_4$  in funzione delle variabili di Seidel ed applicare il teorema di addizione delle aberrazioni del terzo ordine. Si identifichino ora i punti assiali  $z = a$  e  $z' = a$  con i punti oggetto ed immagine dell' ottica Gaussiana e si introducano le seguenti notazioni

$$z = a, \quad z' = a', \quad w_e = a + z_e, \quad w'_e = a' + z'_e, \quad (4.40)$$

$$Q = N \left( \frac{1}{R_c} - \frac{1}{z} \right) = N' \left( \frac{1}{R_c} - \frac{1}{z'} \right), \quad (4.41a)$$

$$L = N \left( \frac{1}{R_c} - \frac{1}{w_e} \right) = N' \left( \frac{1}{R_c} - \frac{1}{w'_e} \right), \quad (4.41b)$$

dove  $Q$  e  $L$  sono gli invarianti di Abbe della superficie  $S$  relativi alle coppie dei piani oggetto-immagine ed alle pupille d' entrata-uscita<sup>1</sup>. Si verifica che

$$\frac{l'}{l} = \frac{R_c - z'}{R_c - z}, \quad \frac{l'_e}{l_e} = \frac{R_c - z'_e}{R_c - z_e}. \quad (4.42)$$

e, tenendo conto delle 4.41, si può scrivere

$$\frac{l'}{l} = \frac{Nz'}{N'z}, \quad \frac{l'_e}{l_e} = \frac{Nz'_e}{N'z_e}. \quad (4.43)$$

---

<sup>1</sup>Gli invarianti di Abbe discendono direttamente dalla relazione di Huygens scritta per una superficie. Infatti da  $-\frac{N}{z} + \frac{N'}{z'} = \frac{N' - N}{R_c}$  e dalla medesima relazione scritta per i piani delle pupille, dopo un leggero maquillage, si perviene alle espressioni per  $Q$ ,  $L$ .

Introdotte le notazioni

$$h = \frac{l_e z}{a} = \frac{l'_e z'}{a'} \quad (4.44)$$

le vecchie variabili, espresse in funzione di quelle di Seidel, assumono la seguente forma

$$p = N \left( \frac{h}{z} X'_e - \frac{h_e}{w_e} X \right), \quad q = N \left( \frac{h}{z} Y'_e - \frac{h_e}{w_e} Y \right), \quad (4.45)$$

$$p' = N' \left( \frac{h}{z'} X'_e - \frac{h_e}{w'_e} X \right), \quad q' = N' \left( \frac{h}{z'} Y'_e - \frac{h_e}{w'_e} Y \right). \quad (4.46)$$

Sostituendo queste relazioni nella 4.39 ed applicando il teorema di addizione delle aberrazione del terzo ordine, dopo lunghi e tediosi passaggi algebrici, si ottengono i coefficienti di aberrazione cercati

$$\begin{aligned} A = & \frac{1}{2} \sum_i h_e^4 \left[ (N_i - N_{i-1}) \frac{K_i}{R_{ci}^3} + L_i^2 \left( \frac{1}{N_i z'_i} - \frac{1}{N_{i-1} z_i} \right) \right. \\ & \left. + (Q_i - L_i)^2 \left( \frac{z'_i}{N_i w_{ei}^2} - \frac{z_i}{N_{i-1} w_{ei}^2} \right) - 2L_i (Q_i - L_i) \left( \frac{1}{N_i w'_{ei}} - \frac{1}{N_{i-1} w_{ei}} \right) \right], \end{aligned} \quad (4.47)$$

$$B = \frac{1}{2} \sum_i h_i^4 \left[ (N_i - N_{i-1}) \frac{K_i}{R_{ci}^3} + Q_i^2 \left( \frac{1}{N_i z'_i} - \frac{1}{N_{i-1} z_i} \right) \right], \quad (4.48)$$

$$C = \frac{1}{2} \sum_i h_i^2 h_{ei}^2 \left[ (N_i - N_{i-1}) \frac{K_i}{R_{ci}^3} + Q_i^2 \left( \frac{1}{N_i z'_i} - \frac{1}{N_{i-1} z_i} \right) \right], \quad (4.49)$$

$$\begin{aligned} D = & \frac{1}{2} \sum_i h_i^2 h_{ei}^2 \left[ (N_i - N_{i-1}) \frac{K_i}{R_{ci}^3} + Q_i L_i \left( \frac{1}{N_i z'_i} - \frac{1}{N_{i-1} z'_i} \right) \right. \\ & \left. - Q_i (Q_i - L_i) \left( \frac{1}{N_i w'_{ei}} - \frac{1}{N_{i-1} w'_{ei}} \right) \right], \end{aligned} \quad (4.50)$$

$$\begin{aligned} E = & \frac{1}{2} \sum_i h_i h_{ei}^3 \left[ (N_i - N_{i-1}) \frac{K_i}{R_{ci}^3} + L_i^2 \left( \frac{1}{N_i z'_i} - \frac{1}{N_{i-1} z'_i} \right) \right. \\ & \left. - L_i (Q_i - L_i) \left( \frac{1}{N_i w'_{ei}} - \frac{1}{N_{i-1} w'_{ei}} \right) \right], \end{aligned} \quad (4.51)$$

$$F = \frac{1}{2} \sum_i h_i^3 h_{ei} \left[ (N_i - N_{i-1}) \frac{K_i}{R_{ci}^3} + Q_i L_i \left( \frac{1}{N_i z'_i} - \frac{1}{N_{i-1} z'_i} \right) \right]. \quad (4.52)$$

## 4.7 Il significato dei coefficienti di aberrazione

Sarà ora proposta un' interpretazione geometrica dei coefficienti di aberrazione del terzo ordine e, conseguentemente, del loro effetto sulla qualità finale dell' immagine prodotta dal sistema in considerazione. Analizzando la 4.20, è banale verificare che il coefficiente  $A$  non ha influenza sulla qualità finale dell' immagine in quanto  $X' = \frac{\partial S}{\partial X_e}, Y' = \frac{\partial S}{\partial Y_e}$ . L' analisi va quindi effettuata sugli altri coefficienti. Conviene esaminare singolarmente i coefficienti ponendo di volta in volta tutti i coefficienti uguali a zero tranne uno. Inoltre, grazie alla simmetria assiale del sistema, si può porre, senza perdita di generalità  $X = 0$ , e  $X_e = R_e \cos \alpha$ ,  $Y_e = R_e \sin \alpha$ . Conviene introdurre anche le curve di aberrazione, tagliate sul piano immagine dai fasci della superficie conica che ha il vertice nel punto oggetto, e che dopo la rifrazione hanno come base un cerchio di raggio  $R'_e$  sul piano  $z'_e$ . L' intersezione dei fasci con la pupilla di entrata è approssimativamente un cerchio. Il coefficiente  $B$  è responsabile della **aberrazione sferica**, infatti si ha

$$\varepsilon_x = BR_e^3 \cos \alpha, \quad \varepsilon_y = BR_e^3 \sin \alpha. \quad (4.53)$$

Le curve di aberrazione formano dei cerchi concentrici con centro nel punto immagine Gaussiano; il loro raggio cresce in base alla terza potenza della apertura dello strumento e sono indipendenti dalla posizione del punto oggetto. La **distorsione** è invece causata dal coefficiente  $E$  che compare nell' espressione del vettore di aberrazione nel modo seguente

$$\varepsilon_x = 0, \quad \varepsilon_y = ER^2Y. \quad (4.54)$$

Siccome  $X_e$ , ed  $Y_e$  non compaiono nelle formule, l'immagine risultante è puntiforme, ma le distanze non sono precisamente proporzionali a quelle dei punti dello spazio oggetto. A seconda del segno di  $E$  si parla di distorsione a cuscinetto o a barilotto. Il termine in  $F$  produce la **coma**

$$\varepsilon_x = -FYR_e^2 \sin 2\alpha, \quad \varepsilon_y = -FYR_e^2 (2 + 2 \cos \alpha) \quad (4.55)$$

Le curve di aberrazione che, fissato  $Y$ , si formano per vari con i raggi d' ingresso (con  $R_e$  variabile) sono delle circonferenze tangenti a due rette uscenti dal punto immagine di Gauss, che formano un angolo di  $30^\circ$  con l' asse delle  $Y$ . Questa aberrazione è detta coma per via dell' aspetto asimmetrico che dà alle immagini. Tale effetto trasforma un oggetto puntiforme in uno di forma allungata. I primi astronomi confondevano a causa della coma le stelle con delle comete da cui il nome dell' aberrazione. Per l' analisi delle altre

aberrazioni conviene considerare contemporaneamente i coefficienti  $C$  e  $D$  che generano l'**astigmatismo** e la **curvatura di campo**. Il fascio di raggi entrante, di piccola apertura, ha due linee focali una in direzione saggittale all'asse dello strumento, l'altra tangente ad una circonferenza che ha il centro sull'asse ottico ed appartiene ad un piano verticale all'asse stesso. Le due superfici contenenti le linee focali, al variare della posizione dell'oggetto, si chiamano rispettivamente superficie immagine saggittale e tangenziale. Nella prima approssimazione si possono sostituire le due superfici con delle sfere tangenti all'asse, che abbiano raggi  $\rho_s$   $\rho_t$ . Si fissi come positivo il valore di  $\rho_s$  e  $\rho_t$  quando il centro della sfera cui afferiscono si trova davanti al piano immagine, assumendo come verso positivo quello di propagazione della luce. Le immagini si formano nitide sulle sfere testè introdotte, proiettando queste sul piano immagine si ottengono i seguenti valori del vettore di aberrazione

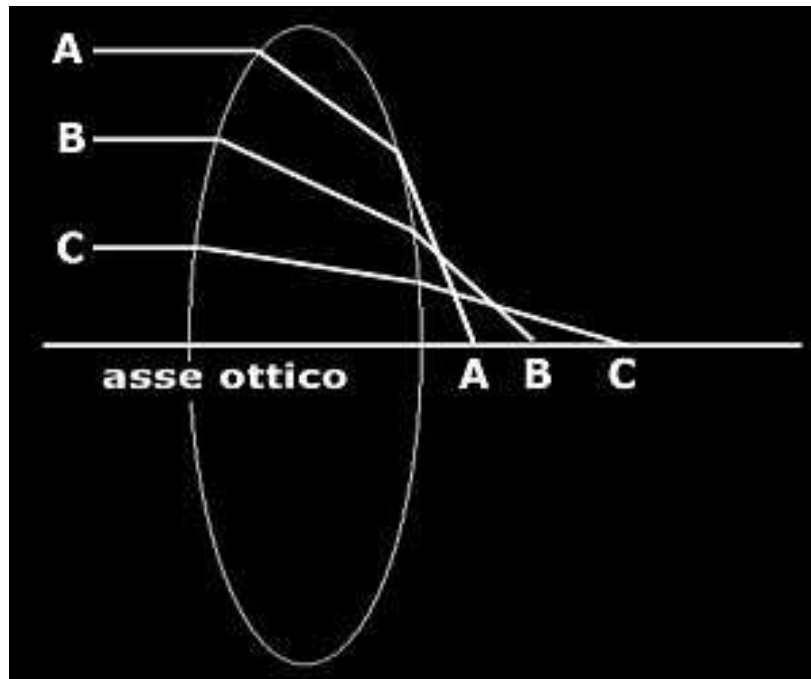
$$\varepsilon_x = \frac{Y^2 R_e \cos \theta}{2\rho_t N} \quad \varepsilon_y = \frac{Y^2 R_e \sin \theta}{2\rho_s N} \quad (4.56)$$

$$\frac{1}{\rho_t} = 2N'(2C + D), \quad \frac{1}{\rho_s} = 2N'D. \quad (4.57)$$

Le quantità  $2C + D$  e  $D$  si chiamano convessità d'immagine tangenziale e saggittale. Si parla di astigmatismo per indicare la metà della differenza, mentre la metà della somma viene detta curvatura di campo. Mandando a zero tutte le altre aberrazioni si forma un'immagine nitida sulla sfera di raggio  $\rho$  tangente al piano immagine sull'asse ottico.

$$\frac{1}{2} \left( \frac{1}{\rho_t} - \frac{1}{\rho_s} \right) = 2N'C, \quad (4.58)$$

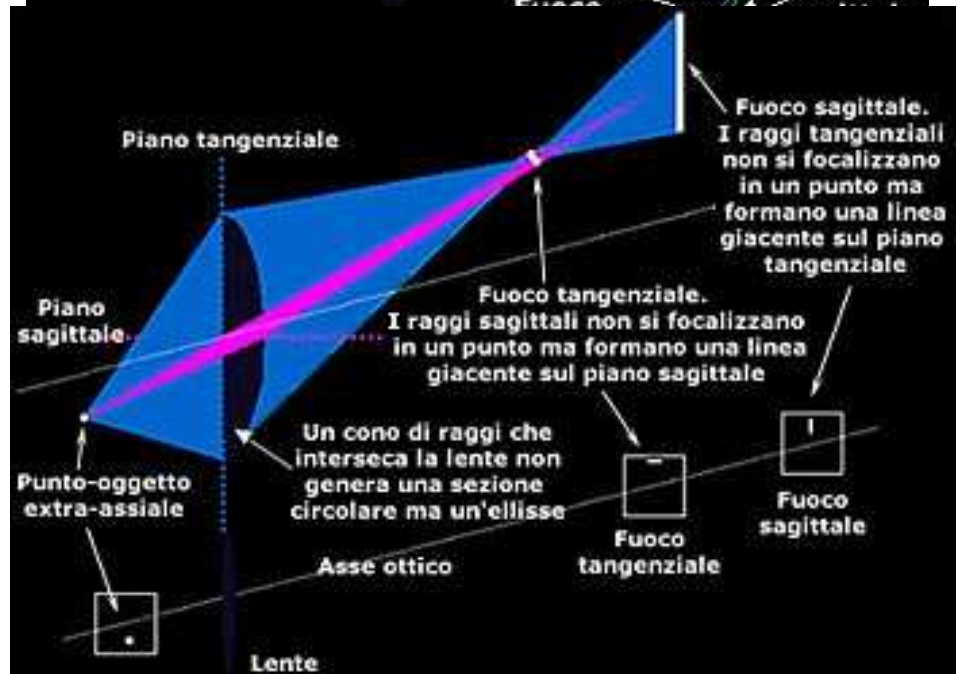
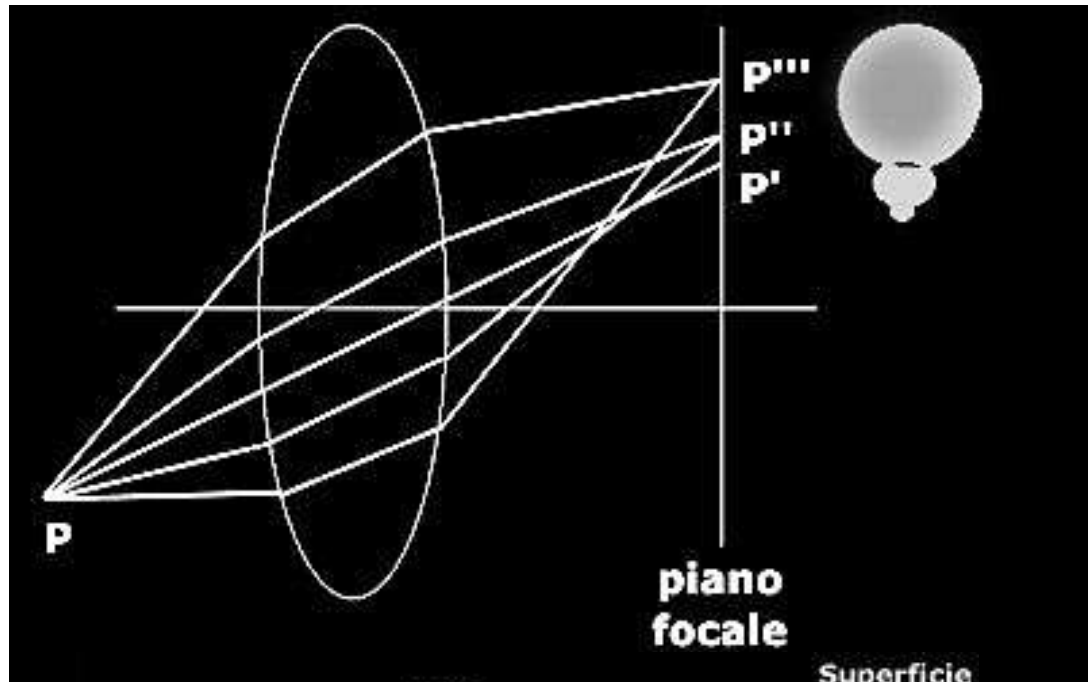
$$\frac{1}{\rho} = \frac{1}{2} \left( \frac{1}{\rho_s} + \frac{1}{\rho_t} \right) = 2N'(C + D) \quad (4.59)$$



Aberrazione sferica.



Distorsioni prodotte su un soggetto di forma rettangolare.



Curvatura di campo



## 4.8 Le aberrazioni del quinto ordine

Per ricavare le aberrazioni del quinto ordine i ragionamenti sono assolutamente analoghi a quelli fatti fin' ora. Si sviluppi l' iconale ad un ordine successivo di approssimazione

$$S_6 = S_1 R^6 + S_2 R_0^4 R_e^2 + S_3 R^4 w^2 + S_4 R^2 R_e^4 + S_5 R^2 R_e^2 w^2 \quad (4.60)$$

$$+ S_6 R R_e w^2 + S_7 R_E^6 + S_8 R_e^2 w^2 + S_9 R_E w^2 + S_{10} w^6, \quad (4.61)$$

dove le  $S_i$  si considerano costanti arbitrarie. Ponendo anche in questo caso  $Y_0 = 0$  dalle 4.18 si ricava

$$-Y' = \frac{\partial S^{(4)}}{\partial Y_e} + 2Y_e (S_2 Y^4 + 2S_4 Y^4 R_e + S_5 Y^3 Y_e + 3S_7 R_e^2 + 2S_8 Y Y_e R_e^2 + S_9 Y^2 Y_e^2) \quad (4.62)$$

$$X - X' = \frac{\partial S^{(4)}}{\partial X_e} + 2X_e (S_2 X^4 + 2S_4 X^4 R_e + S_5 X^3 X_e + 3S_7 R_e^2 + 2S_8 X X_e R_e^2 + S_9 X^2 X_e^2) + \quad (4.63)$$

$$X (S_3 X^4 + S_5 X^2 R_e^2 + 2S_6 X^3 X_e + S_8 R_e^4 + 2S_9 X X_e R_e^2 + 3S_{10} X^2 X_e^2).$$

Siccome  $S_1$  non compare in queste espressioni, rimangono nove coefficienti indipendenti del quinto ordine. Questi si possono isolare uno per volta e considerare le rispettive curve di aberrazione. Si pone al solito  $X_e = R_e \cos \theta$ ,  $Y_e = R_e \sin \theta$  e si indichino le variazioni così ottenute con  $\Delta X, \Delta Y$ . La nomenclatura utilizzata è quella proposta da Schwarzschild, in letteratura esistono altre classificazioni.

- $S_7$  - aberrazione sferica di secondo grado: queste curve di aberrazione sono delle circonferenze, i raggi delle quali sono indipendenti dalla posizione dell' oggetto e crescono con la quinta potenza dell' apertura dello strumento.

$$\Delta X = -6S_7 R_e^5 \cos \theta \quad (4.64)$$

$$\Delta Y = -6S_7 R_e^5 \sin \theta. \quad (4.65)$$

- $S_8$  - coma circolare: le curve di aberrazione sono delle circonferenze di raggio  $2S_8 Y_0 R_e^4$  tangenti ad un piano che forma un angolo di  $41^\circ 8'$  ( $\sin 41^\circ 8' = 2/3$ ) con l' asse delle  $Y$

$$\Delta X = -S_8 X R_e^4 \cos \theta, \quad (4.66)$$

$$\Delta Y = -S_8 X R_e^4 \sin \theta. \quad (4.67)$$

- $S_4$  - aberrazione sferica sagittale: le curve di aberrazione sono delle circonferenze, i raggi delle quali crescono con il quadrato della distanza assiale e la terza potenza dell' apertura

$$\Delta X = -4S_4 X^2 R_e^3 \cos \theta, \quad (4.68)$$

$$\Delta Y = -4S_4 X^2 R_e^3 \sin \theta. \quad (4.69)$$

- $S_9$  - ali :in questo caso le curve di aberrazioni sono del sesto ordine ed inalcuni casi assumono la suggestiva forma di ali. Tutte le curve generate da raggi uscenti dallo stesso punto oggetto sono centrate nel punto immagine coniugato al punto oggetto

$$\Delta X = -2S_9 X^2 R_e^3 \cos \theta (1 + \cos^2 \theta) \quad (4.70)$$

$$\Delta Y = -2S_9 X^2 R_e^3 \cos^2 \theta \sin \theta. \quad (4.71)$$

- $S_{10}$  - freccia: la curva di aberrazione consiste in una retta, che si stende dall' immagine di Gauss verso il bordo dell' immagine.

$$\Delta X = -3S_{10} X^3 R_e^2 \cos^2 \theta, \quad (4.72)$$

$$\Delta Y = 0 \quad (4.73)$$

- $S_5$  - coma laterale: le curve di aberrazione hanno la stessa forma della coma consueta, si distinguono soltanto nel fatto che crescono con la terza potenza della distanza assiale.

$$\Delta X = -S_5 X^3 R_e^2 (1 + 2 \cos^2 \theta), \quad (4.74)$$

$$\Delta Y = -S_5 X^3 R_e^2 2 \cos \theta \sin \theta. \quad (4.75)$$

- $S_2 S_6$  - astigmatismo e curvatura di campo sagittali: anche in questo caso conviene considerare due aberrazioni contemporaneamente. Le curve di aberrazione sono delle ellissi. Si chiamerà la metà della differenza astigmatismo e la metà della somma convessità laterale d' immagine.

$$\Delta X = -2 (S_2 + S_6) X^4 R_e \cos \theta \quad (4.76)$$

$$\Delta Y = -2S_2 X^4 R_e \sin \theta \quad (4.77)$$

- $S_3$  - distorsione sagittale: analogamente a quella del terzo ordine questa aberrazione non influenza le immagini puntiformi, ma contribuisce ulteriormente, insieme a quella del terz' ordine, alla deformazione di oggetti estesi

$$\Delta X = -S_3 X^5, \quad (4.78)$$

$$\Delta Y = 0. \quad (4.79)$$

# Capitolo 5

## La teoria delle aberrazioni per mezzo delle equazioni di Hamilton

### 5.1 L'ottica al primo ordine per un sistema ottico centrato

Si consideri l'Hamiltoniana

$$H = -\sqrt{N^2(X^2 + Y^2, z) - (P^2 + Q^2)} = -\sqrt{N^2(U, z) - V}, \text{ common used approach to the aberration theory} \quad (5.1)$$

in cui l'indice di rifrazione è continuo ed a simmetria assiale, e  $X, Y, P, Q$  indicano le soluzioni non approssimate delle equazioni di Hamilton e si sono fatte le posizioni  $X^2 + Y^2 = U, P^2 + Q^2 = V$ . Sviluppando in serie di Taylor rispetto alle  $U, V$  e troncando lo sviluppo al primo ordine si ha

$$H \simeq -N(z) + \frac{1}{2} \frac{\partial N}{\partial U} \Big|_0 U + \frac{1}{2N(z)} V, \quad (5.2)$$

dove si è posto  $N(0, z) = N(z)$ . Le equazioni di Hamilton per la nuova Hamiltoniana sono dunque

$$\dot{x} = \frac{1}{N(0, z)} p, \quad \dot{p} = -Dx, \quad (5.3a)$$

$$\dot{y} = \frac{1}{N(0, z)} q, \quad \dot{q} = -Dy, \quad (5.3b)$$

avendo posto  $D = \frac{\partial N}{\partial U} \Big|_0$ . La situazione che però presenta il maggior interesse dal punto di vista fisico è quella in cui l'indice di rifrazione è costante a

tratti, come si verifica nei consueti strumenti ottici da osservazione e negli obiettivi fotografici. Questa condizione sarà ottenuta come limite del caso continuo. Prima di proseguire, conviene introdurre una opportuna notazione per il caso discreto.

Saranno indicate con indice pari tutte quelle quantità che si intendono valutate sui piani tangenti ai vertici delle superfici ottiche, mentre per il piano immagine verranno adoperate le consuete notazioni con apice. Siano quindi

- $z_0, z_2, \dots, z_{2n}, z'$  ascisse dei piani tangenti alle superfici ottiche. In particolare  $z_0$  è il piano oggetto,  $z'$  il piano immagine;
- $x_0, x_2, \dots, x_{2n}, x', y_0, y_2, \dots, y_{2n}, y'$  coordinate del raggio sui piani  $z_0, z_2, \dots, z_{2n}, z'$ .
- $R_2, R_4, \dots, R_{2n}$  i raggi di curvatura delle superfici ottiche.

Si utilizzeranno indici dispari per tutte le quantità che ha senso definire solo nelle regioni tra due piani tangenti

- $t_1, t_3, \dots, t_{2n+1}$  distanze assiali tra i piani tangenti  $z_{2n}$  e  $z_{2n+2}$ ;
- $N_1, N_3, \dots, N_{2n+1}$  indice di rifrazione tra i piani tangenti  $z_{2n}$  e  $z_{2n+2}$ ;
- $p_1, p_3, \dots, p_{2n+1}, q_1, q_3, \dots, q_{2n+1}$  momenti cinetici tra i piani tangenti  $z_{2n}$  e  $z_{2n+2}$ .

Nel caso in cui l' indice di rifrazione è costante a tratti, i raggi luminosi altro non sono che dei tratti di retta connessi continuamente. Le loro espressioni altro sono

$$x(z) = \frac{p}{N}z + c_x, \quad y(z) = \frac{q}{N}z + c_y, \quad (5.4)$$

con  $c_x, c_y$  costanti. Si può scrivere la soluzione alle prime due equazione di Hamilton come

$$x_{2n+2} - x_{2n} = \frac{t_{2n+1}}{N_{2n+1}}p_{2n+1}, \quad y_{2n+2} - y_{2n} = \frac{t_{2n+1}}{N_{2n+1}}q_{2n+1}. \quad (5.5)$$

Per ottenere una soluzione analoga per le altre due equazioni conviene supporre l' indice di rifrazione continuo in una piccola regione di ampiezza  $2\delta$  centrata nel punto  $z_{2n}$  e successivamente passare al limite per  $\delta \rightarrow 0$ .

$$\int_{z_{2n}-\delta}^{z_{2n}+\delta} p dz = - \int_{z_{2n}-\delta}^{z_{2n}+\delta} \frac{N'(z)}{R} x(z) = - \int_{z_{2n}-\delta}^{z_{2n}+\delta} \frac{\Delta N}{\Delta z} \frac{1}{R_c} x(z) dz \quad (5.6)$$

il passaggio al limite conduce a

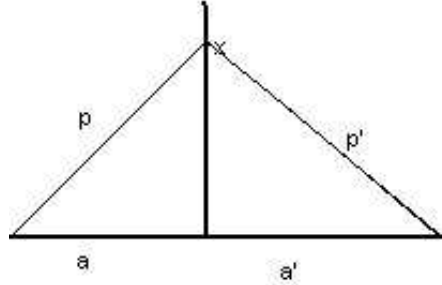
$$p_{2n+1} - p_{2n-1} = -x_{2n} \frac{\Delta N}{R_{2n}}, \quad (5.7)$$

ed a

$$q_{2n+1} - q_{2n-1} = -y_{2n} \frac{\Delta N}{R_{2n}}. \quad (5.8)$$

Queste ultime relazioni altro non sono che la formula di Huygens, infatti effettuando le sostituzioni

$$\frac{a}{n_{2n-1}} : \quad (5.9)$$



si ottiene

$$\frac{N_{2n-1}}{a} + \frac{N_{2n+1}}{a'} = \frac{N_{2n+1} - N_{2n-1}}{R_c}. \quad (5.10)$$

La presenza di un diaframma nello strumento va trattata con alcuni accorgimenti. Sia  $z_e$  l'ascissa del diaframma sull'asse ottico, conviene descrivere il raggio luminoso tramite due soluzioni particolari delle 5.3, che saranno indicate con  $h(z)$ ,  $k(z)$ ,  $g(z)$ ,  $f(z)$  tali che

$$x(z) = x_0 h(z) + x_e k(z), \quad y(z) = y_0 h(z) + y_e k(z), \quad (5.11)$$

$$p(z) = x_0 g(z) + x_e f(z), \quad q(z) = y_0 g(z) + y_e f(z). \quad (5.12)$$

con  $f(z) = N(z) k'(z)$ ,  $g(z) = N(z) h'(z)$ . Le soluzioni  $h(z)$ ,  $k(z)$  soddisfano le seguenti condizioni al contorno

$$k(z_0) = 0, \quad k(z') = 0, \quad k(z_e) = 1, \quad (5.13a)$$

$$h(z_0) = 1, \quad h(z') = M, \quad h(z_e) = 0, \quad (5.13b)$$

$M$  indicando l'ingrandimento gaussiano del sistema. Le due soluzioni  $h(z)$ ,  $k(z)$  sono dette rispettivamente raggio assiale e raggio di campo.

## 5.2 L'invariante di Lagrange per i raggi assiale e di campo

Due coppie di soluzioni  $(x, p)$ ,  $(\xi, \pi)$  delle equazioni di Hamilton per lo stesso sistema ottico centrato possono essere messe in relazione grazie ad un invariante. Si osservi che valgono le seguenti relazioni

$$\delta_{2n+1} = \frac{x_{2n+2} - x_{2n}}{p_{2n+1}} = \frac{\xi_{2n+2} - \xi_{2n}}{\pi_{2n+1}}, \quad (5.14)$$

$$-D_{2n} = \frac{p_{2n+1} - p_{2n-1}}{x_{2n}} = \frac{\pi_{2n+1} - \pi_{2n-1}}{\xi_{2n}}. \quad (5.15)$$

queste relazioni possono essere messe nella forma

$$\det \begin{pmatrix} \xi_{2n+2} & \pi_{2n+1} \\ x_{2n+2} & p_{2n+1} \end{pmatrix} = \det \begin{pmatrix} \xi_{2n} & \pi_{2n+1} \\ x_{2n} & p_{2n+1} \end{pmatrix}, \quad (5.16)$$

e

$$\det \begin{pmatrix} \xi_{2n} & \pi_{2n-1} \\ x_{2n} & p_{2n-1} \end{pmatrix} = \det \begin{pmatrix} \xi_{2n+2} & \pi_{2n-1} \\ x_{2n+2} & p_{2n-1} \end{pmatrix}. \quad (5.17)$$

Al variare dell' indice  $n$  questi determinanti sono sempre uguali, e verranno indicati con  $\Gamma$ . Si può esprimere questo invariante in funzione dei raggi assiale e di campo

$$\det \begin{pmatrix} h_{2n} & g_{2n+1} \\ k_{2n} & f_{2n+1} \end{pmatrix} = \det \begin{pmatrix} h_{2n} & g_{2n-1} \\ k_{2n} & f_{2n-1} \end{pmatrix}. \quad (5.18)$$

## 5.3 Le aberrazioni del terzo ordine. Vantaggi dell' uso delle equazioni di Hamilton

Proseguendo nello sviluppo in serie dell' Hamiltoniana si otterrà la teoria delle aberrazioni del terzo ordine. I vantaggi di questo approccio sono svariati. In primo luogo tale approccio è concettualmente più semplice ed intuitivo di quello basato sull' uso delle funzioni principali di Hamilton. Inoltre, quando si utilizzano le funzioni principali, avendo ognuna di queste delle condizioni di non applicabilità (ad esempio i sistemi telescopici per la  $T$ , funzione angolare), bisogna aver chiaro il tipo di sistema ottico di cui si intendono minimizzare le aberrazioni. E' ovvio che l' utilizzo delle equazioni di Hamilton, avendo queste valenza globale, non presenta questo tipo di limitazioni. Le espressioni trovate per i coefficienti di aberrazione sono molto più maneggevoli rispetto a quelle trovate con altri approcci. Inoltre, non sono formulate in funzione di variabili adimensionali, ma direttamente nelle coordinate sui piani della

pupilla d'entrata e dell'oggetto. Partire da un mezzo con indice di rifrazione continuo permette di applicare direttamente le relazioni alle moderne lenti che presentano questa caratteristica. Il teorema di addizione delle aberrazioni del terzo ordine discende naturalmente dalla  $\sigma$ -addittività dell'integrale, tanto che non si avverte neanche la necessità di enunciarlo.

## 5.4 Le aberrazioni del terzo ordine. Derivazione

Si sviluppi l'Hamiltoniana al second'ordine in  $U, V$

$$H = H_0 + H_U U + H_V V + \frac{1}{2} (H_{U^2} U^2 + H_{UV} UV + H_{V^2} V^2) + \dots \quad (5.19)$$

e si consideri lo sviluppo delle soluzioni nei parametri  $x_o, y_o, x_e, y_e$

$$X = X_1 + X_3 + \dots \quad (5.20a)$$

$$Y = Y_1 + Y_3 + \dots \quad (5.20b)$$

$$P = P_1 + P_3 + \dots \quad (5.20c)$$

$$Q = Q_1 + Q_3 + \dots \quad (5.20d)$$

dove il pedice indica il grado del polinomio nei parametri  $x_o, y_o, x_e, y_e$ . I coefficienti dei polinomi sono delle funzioni di  $z$ . D'ora in avanti, per brevità, si considereranno solo le equazioni per le variabili  $(x, p)$  essendo quelle per le  $(y, q)$  identiche a meno di fattori. Le equazioni di Hamilton sono

$$\dot{X}_1 + \dot{X}_3 + \dots = 2(H_V + H_{UV}U + H_{V^2}V + \dots)(P_1 + P_3 + \dots), \quad (5.21)$$

e posto  $U_2 = X_1^2 + Y_1^2$  e  $V_2 = P_1^2 + Q_1^2$  diventano

$$\dot{X}_1 + \dot{X}_3 + \dots = 2H_V P_1 + 2H_V P_3 + 2(H_{UV}U_2 + H_{V^2}V_2) P_1 + \dots \quad (5.22)$$

dove sono stati omissi termini di grado maggiore al terzo. Uguagliando i polinomi del medesimo grado segue

$$\dot{X}_1 - 2H_V P_1 = 0, \quad (5.23a)$$

$$\dot{P}_1 + 2H_U X_1 = 0, \quad (5.23b)$$

$$\dot{X}_3 - 2H_V P_3 = 2(H_{UV}U_2 + H_{V^2}V_2) P_1, \quad (5.24a)$$

$$\dot{P}_3 + 2H_U X_3 = -2(H_{U^2}U_2 + H_{UV}V_2) X_1. \quad (5.24b)$$

Le equazioni del terzo ordine sono le soluzioni di equazioni non omogenee. I termini non omogenei sono funzioni note delle soluzioni parassiali e gli operatori differenziali sulla sinistra sono gli stessi che compaiono nelle equazioni omogenee per l'ottica di Gauss. Il problema era determinare le soluzioni delle equazioni canoniche con le seguenti condizioni al contorno

$$X(z_0) = x_0, \quad X(z_e) = x_e. \quad (5.25)$$

Una volta determinate le soluzioni parassiali possiamo scaricare le condizioni al contorno su quest'ultime. Le aberrazioni del terzo ordine dovranno quindi soddisfare le seguenti condizioni al contorno

$$X_3(z_0) = X_3(z_e) = 0. \quad (5.26)$$

Possiamo quindi riformulare il problema iniziale nel modo seguente:

**Problem 9** *Trovare una soluzione delle equazioni 5.24 che soddisfino le condizioni al contorno 5.26.*

Il problema si risolve prendendo in considerazione le equazioni

$$\dot{X}_3 - \frac{1}{N}P_3 = 2(H_{UV}U_2 + H_{V^2}V_2)P_1; \quad (5.27)$$

$$\dot{k}(z) - \frac{1}{N}g(z) = 0. \quad (5.28)$$

Da queste, segue

$$\dot{X}_3g - \dot{k}P_3 = -2(H_{U^2}U_2 + H_{V^2}V_2)P_1f(z). \quad (5.29)$$

Analogamente, dalle relazioni

$$\dot{P}_3 + DX_3 = -2(H_{U^2}U_2 + H_{UV}V_2)\dot{X}_1, \quad (5.30)$$

$$\dot{f} + Dk = 0 \quad (5.31)$$

si ottiene

$$X_3\dot{f} - k\dot{P}_3 = 2(H_{U^2}U_2 + H_{UV}V_2)X_1k. \quad (5.32)$$

Sommando la 5.29 e la 5.32 si ha

$$\frac{d}{dz}(X_3f - kP_3) = 2(H_{U^2}U_2 + H_{UV}V_2)X_1k + 2(H_{U^2}U_2 + H_{UV}V_2)X_1k. \quad (5.33)$$



Integrando l' equazione, facendo uso delle condizioni al contorno e dell' espressione dell' invariante ottico di Lagrange al primo ordine sul piano immagine

$$\Gamma = Mf(z') \quad (5.34)$$

si ha

$$X_3(z') = \frac{2M}{\Gamma} \int_{z_0}^{z'} [(H_{UV}U_2 + H_{V^2}V_2) P_1 f + (H_{U^2}U_2 + H_{UV}V_2) X_1 k] dz, \quad (5.35)$$

analogamente

$$Y_3(z') = \frac{2M}{\Gamma} \int_{z_0}^{z'} [(H_{UV}U_2 + H_{V^2}V_2) Q_1 f + (H_{U^2}U_2 + H_{UV}V_2) Y_1 k] dz. \quad (5.36)$$

Gli integrali 5.35, 5.36 rappresentano le aberrazioni del terzo ordine. Si possono identificare i coefficienti di aberrazioni sostituendo tutte le relazioni fin qui trovate nelle 5.35, 5.36 ed eguagliando quest'ultime all' espressione del vettore di aberrazione trovata grazie all' ausilio delle funzioni principali. Si hanno le seguenti espressioni

$$A = \frac{2}{\Gamma} \int_{z_0}^{z'} H_{UU} k^4 + 2H_{UV} k^2 f^2 + H_{VV} f^4 dz, \quad (5.37a)$$

$$B = \frac{6}{\Gamma} \int_{z_0}^{z'} H_{UU} k^3 h + H_{UV} k f (hg + kf) + H_{VV} f^3 g dz, \quad (5.37b)$$

$$C = \frac{6}{\Gamma} \int_{z_0}^{z'} H_{UU} k^2 h^2 + 2H_{UV} k f h g + H_{VV} f^2 g^2 dz + 2\Gamma \int_{z_0}^{z'} H_{UV} dz, \quad (5.37c)$$

$$D = \frac{2}{\Gamma} \int_{z_0}^{z'} H_{UU} k^2 h^2 + 2H_{UV} (h^2 g^2 + k^2 f^2) + H_{VV} f^2 g^2 dz, \quad (5.37d)$$

$$E = \frac{6}{\Gamma} \int_{z_0}^{z'} H_{UU} k h^3 + H_{UV} h g (hg + kf) + H_{VV} f g^3 dz, \quad (5.37e)$$

dove si è preferito omettere le dipendenze da  $z$  per non appesantire la notazione. Da un' attenta analisi delle relazioni precedenti si ricava

$$3D - C = \Gamma \int_{z_0}^{z'} H_{UV} dz. \quad (5.38)$$

Tale importante risultato va sotto il nome di Teorema di Petzval, da cui discendono due conseguenze. In primis, uno strumento ottico, per cui la somma di Petzval

$$\int_{z_0}^{z'} \frac{1}{R_c} d\left(\frac{1}{N}\right) \quad (5.39)$$

è nulla, risulta corretto per l' astigmatismo e la curvatura di campo. In secondo luogo, si può semplificare l' analisi fin qui condotta restringendo l' attenzione ai soli raggi meridionali. In tal modo si possono ricavare direttamente quattro dei cinque coefficienti  $(A, B, C, E)$ , l' ultimo potrà essere ricavato dal teorema di Petzval. Al fin di trovare la forma esplicita dei coefficienti dello sviluppo dell' Hamiltoniana, si prendano in considerazione le caratteristiche geometriche del mezzo. Posto, per semplicità di notazione,

$$N(0, z) = N(z) = N, \quad N_U(0, z) = N_U(z) = N_U, \quad N_{UU}(0, z) = N_{UU}(z) = N_{UU} \quad (5.40)$$

si ha

$$H_{UU} = -N_{UU}, \quad H_{UV} = -\frac{N_U}{2N^2}, \quad H_{VV} = \frac{1}{4N^3}. \quad (5.41)$$

Si esprimano  $N_U$  ed  $N_{UU}$  in funzione delle caratteristiche geometriche delle superfici  $N(U, z) = \text{costante}$ . Sia  $Z = G(U)$  l' equazione della superficie ottica che passa per il punto  $z = z_c$  dell' asse ottico, si ha

$$N(U, G(U)) = N(0, z), \quad (5.42)$$

derivando rispetto ad  $U$  e valutando le derivate sull' asse ottico si ottiene

$$N_U + N'G'(0) = 0, \quad (5.43a)$$

$$N_{UU}N'G''(0) + N''(G'(0))^2 = 0. \quad (5.43b)$$

Si sviluppi in serie  $G(U)$  in un intorno dell' asse ottico

$$G(U) = z + G'(0)U + G''(0)U^2 = z + \frac{1}{2R_c}U + \frac{a}{2}U^2, \quad (5.44)$$

usando le 5.43 e le 5.41 si trova

$$H_{UU} = aN' - \frac{1}{4} \frac{d}{dz} \left( \frac{N'}{R_c^2} \right), \quad (5.45)$$

$$H_{UV} = -\frac{1}{4R_c} \frac{d}{dz} \left( \frac{1}{N} \right), \quad (5.46)$$

$$H_{VV} = \frac{1}{4N^3}. \quad (5.47)$$

Sostituendo le relazioni fin qui trovate nelle 5.37, dopo un' attenta manipolazione degli integrandi, ed introducendo le seguenti notazioni

$$S = k \frac{\left( \frac{d}{dz} \frac{f(z)}{N} \right)^2 \left( \frac{d}{dz} \frac{f(z)}{N^2} \right)}{\left( \frac{d}{dz} \frac{1}{N(z)} \right)^2}, \quad A_s = K \frac{k^4}{R_c^3} \frac{dN(z)}{dz}, \quad P = \frac{1}{R} \frac{d}{dz} \left( \frac{1}{N(z)} \right), \quad \omega = \frac{\left( \frac{d}{dz} \frac{g(z)}{N} \right)}{\left( \frac{d}{dz} \frac{f(z)}{N} \right)}, \quad (5.48)$$

si possono esprimere i coefficienti del polinomio

$$\varepsilon_x = Ax_e^3 + Bx_e^2x_o + Cx_ex_o^2 + Ex_o^3 \quad (5.49)$$

tramite le formule

$$A = -\frac{1}{2\Gamma} \int_{z_o}^{z'} S + A_s k^4 dz, \quad (5.50a)$$

$$B = -\frac{3}{2\Gamma} \int_{z_o}^{z'} S\omega + A_s k^3 h dz, \quad (5.50b)$$

$$C = -\frac{3}{2\Gamma} \int_{z_o}^{z'} S\omega^2 + A_s k^2 h^2 dz - \frac{\Gamma}{2} \int_{z_o}^{z'} P dz, \quad (5.50c)$$

$$E = -\frac{1}{2\Gamma} \int_{z_o}^{z'} S\omega^3 + A_s k h^3 dz - \frac{\Gamma}{2} \int_{z_o}^{z'} P\omega dz \quad (5.50d)$$

Per i dettagli del calcolo dei coefficienti di aberrazione si rimanda al paragrafo successivo. Le relazioni fin qui ricavate valgono per un sistema ottico con indice di rifrazione continuo. Il passaggio al limite discreto permette di determinare, per ogni superficie del sistema ottico, le seguenti quantità

$$S_i = k_i \frac{\left(\Delta_i \frac{f(z)}{N}\right)^2 \left(\Delta_i \frac{f(z)}{N^2}\right)}{\left(\Delta_i \frac{1}{N}\right)^2}, \quad A_{si} = \frac{K_i}{2R_{ci}^3} \Delta N, \quad P_i = \frac{1}{R_{ci}} \left(\Delta_i \frac{1}{N_i}\right), \quad \omega_i = \frac{\left(\Delta_i \frac{g(z)}{N}\right)}{\left(\Delta_i \frac{f(z)}{N}\right)}. \quad (5.51)$$

Si possono esprimere, in funzione di queste, i coefficienti di aberrazione

$$A = -\frac{1}{2\Gamma} \sum_i (S_i + A_{si} k_i^4), \quad (5.52a)$$

$$B = -\frac{3}{2\Gamma} \sum_i (S_i \omega_i + A_{si} k_i^3 h_i), \quad (5.52b)$$

$$C = -\frac{3}{2\Gamma} \sum_i (S_i \omega_i^2 + A_{si} k_i^2 h_i^2) - \frac{\Gamma}{2} \sum_i P_i, \quad (5.52c)$$

$$E = -\frac{1}{2\Gamma} \sum_i (S_i \omega_i^3 + A_{si} k_i h_i^3) - \frac{\Gamma}{2} \sum_i P_i \omega_i. \quad (5.52d)$$

Dove i parametri che compaiono si possono ricavare grazie alle seguenti relazioni di ricorrenza.

$$k_{2n+2} - k_{2n} = \frac{t_{2n+1}}{N_{2n+1}} f_{2n+1}, \quad h_{2n+2} - h_{2n} = \frac{t_{2n+1}}{N_{2n+1}} g_{2n+1}, \quad (5.53a)$$

$$f_{2n+1} - f_{2n-1} = -k_{2n} \frac{\Delta N}{R_{2n}}, \quad g_{2n+1} - g_{2n-1} = -h_{2n} \frac{\Delta N}{R_{2n}}. \quad (5.53b)$$

Va osservato che le uniche restrizioni realmente importanti nelle condizioni al contorno imposte sui raggi assiale e di campo sono  $k(z_0) = 0$  e  $h(z_e) = 0$ . Esse richiedono che i due raggi passino rispettivamente attraverso i punti oggetto e il centro della pupilla d'entrata. Se  $h(z_0) \neq 1$ , e  $k(z_e) \neq 1$  attraverso le stesse formule si ottengono i coefficienti del polinomio

$$A\tilde{x}_e^3 + B\tilde{x}_o\tilde{x}_e^2 + C\tilde{x}_0^2\tilde{x} + E\tilde{x}_0^3 \quad (5.54)$$

dove

$$\tilde{x}_0 = \frac{x_0}{h(z_0)}, \quad \tilde{x}_e = \frac{x_e}{k(z_e)}. \quad (5.55)$$

Queste condizioni sono equivalenti all' utilizzo di un sistema di unità di misura naturali sui due piani.

## 5.5 Calcolo dei coefficienti del terzo ordine

Verrà ora illustrato in dettaglio il procedimento che porta alle 5.52. In primo luogo dalle 5.23 si possono ricavare le seguenti relazioni che esprimono il raggio di curvatura in funzione dei raggi parassiali

$$\frac{1}{R_c} = -\frac{f'}{N'k} = -\frac{g'}{N'h}. \quad (5.56)$$

Si osservi che la funzione  $k(z)$  si annulla sugli estremi di integrazione (si veda la 5.13). Siano  $L(z)$   $F(z)$  due funzioni opportunamente regolari, integrando per parti ne discende

$$\int_{z_0}^{z'} L(z) k(z) F'(z) dz = - \int_{z_0}^{z'} \left[ F(z) \frac{d}{dz} (L(z) k(z)) \right] dz \quad (5.57)$$

Ci si concentri sul coefficiente  $A$  che esprime l' aberrazione sferica. Sostituendo le 5.56 nella 5.52a, portando  $R_c$  all' interno dell' operatore di derivazione che compare nell' espressione del coefficiente  $H_{UU}$  dello sviluppo in serie dell' Hamiltoniana si ha

$$A = \int_{z_0}^{z'} \frac{f(z)^4}{2N(z)^3} - \frac{f(z)^2 k(z) f'(z)}{N(z)^2} - \frac{k(z) f'(z)^3}{2N'(z)^2} - \frac{K k(z) f'(z)^3}{2N'(z)^2} + \frac{k(z) f'(z)^2 k'(z)}{N'(z)} - \frac{k(z)^2 f'(z) f''(z)}{N'(z)} + \frac{k(z)^2 f'(z)^2 N''(z)}{2N'(z)^2} dz, \quad (5.58)$$

integrando per parti gli ultimi due addendi grazie alla 5.57, si ha

$$A = \int_{z_0}^{z'} \frac{f(z)^4}{2N(z)^3} - \frac{f(z)^2 k(z) f'(z)}{N(z)^2} - \frac{k(z) f'(z)^3}{2N'(z)^2} - \frac{K k(z) f'(z)^3}{2N'(z)^2} + \frac{2k(z) f'(z)^2 k'(z)}{N'(z)} dz. \quad (5.59)$$

Si aggiunga e sottragga la quantità

$$\frac{f^2(z) k(z) f'(z)}{N^2(z)}. \quad (5.60)$$

Avendo l'accortezza di integrare per parti prima di sommare, si ottiene

$$\begin{aligned} A = & \int_{z_0}^{z'} \frac{-5 f(z)^2 k(z) f'(z)}{2 N(z)^2} - \frac{k(z) f'(z)^3}{2 N'(z)^2} - \frac{K k(z) f'(z)^3}{2 N'(z)^2} \\ & + \frac{2 f(z) k(z) f'(z)^2}{N(z) N'(z)} + \frac{f(z)^3 k(z) N'(z)}{N(z)^3} dz. \end{aligned} \quad (5.61)$$

Evidenziando per parti si perviene infine alla forma definitiva del coefficiente di aberrazione

$$A = \int_{z_0}^{z'} \left[ k(z) \frac{\left( \frac{d}{dz} \frac{g(z)}{N(z)} \right)^2 \left( \frac{d}{dz} \frac{g(z)}{N^2(z)} \right)}{\left( \frac{d}{dz} \frac{1}{N(z)} \right)^2} - K \frac{k(z)^4}{R_c^3} \frac{d}{dz} N(z) \right] dz. \quad (5.62)$$

L'integrando è quasi ovunque nullo, l'unico punto dell'asse con contributo diverso da zero si trova sulla superficie ottica. Si può quindi restringere il dominio ad una piccola regione di integrazione centrata intorno a  $z_c$   $[z_c - \delta, z_c + \delta]$ . Le quantità che compaiono sotto il segno di derivata nell'integrando hanno valori ben definiti a destra e sinistra della superficie ottica. Possiamo quindi supporre che varino linearmente nell'intervallo chiuso  $[z_c - \delta, z_c + \delta]$  e sostituire alle derivate i rapporti incrementali per poi passare al limite per  $\delta \rightarrow 0$ . Si ha

$$\begin{aligned} A = \lim_{\delta \rightarrow 0} \int_{z_c - \delta}^{z_c + \delta} \left[ k \frac{\left( \frac{\Delta g(z)}{N} \right)^2 \left( \frac{\Delta g(z)}{N^2} \right)}{\left( \frac{\Delta 1}{N} \right)^2} 2\delta - 2K \frac{k^4}{R_c^3} \Delta N \delta \right] dz = \\ k \frac{\left( \frac{\Delta g}{N} \right)^2 \left( \frac{\Delta g}{N^2} \right)}{\left( \frac{\Delta 1}{N} \right)^2} - K \frac{k^4}{R_c^3} \Delta N. \end{aligned} \quad (5.63)$$

Per precedere al calcolo degli altri coefficienti di aberrazione è necessario dimostrare le seguenti relazioni

$$\frac{h'}{k'} = \frac{g'}{f} = \frac{h''}{k''}. \quad (5.64)$$

Si osservi che le equazioni di Hamilton si disaccoppiano fornendo due sistemi di equazioni differenziali identici per i raggi assiale e di campo, con l'unica

differenza delle condizioni al contorno. Sia  $(l(z), N(z)l'(z))$  la soluzione generale di questo sistema. Imposte le condizioni al contorno ai raggi assiale e di campo si ha

$$k(z) = \frac{l(z) - l(z_e)}{l(z_0) - l(z_e)} = \alpha l(z) + \beta, \quad (5.65)$$

$$h(z) = 1 - \frac{l(z) - l(z_e)}{l(z_0) - l(z_e)} = -\alpha l(z) + \gamma, \quad (5.66)$$

con  $\alpha, \beta, \gamma$  costanti. E' banale verificare che

$$\frac{h'(z)}{k'(z)} = \frac{h''(z)}{k''(z)}. \quad (5.67)$$

Per definizione  $f'(z) = N(z)k'(z)$  e  $g'(z) = N(z)h'(z)$  da cui si arriva alla 5.64. Sostituendo le relazioni appena trovate nelle formule che esprimono i coefficienti di aberrazione si arriva alle 5.50.

## 5.6 Le aberrazioni del quinto ordine

Si può estendere il procedimento utilizzato nel calcolo delle aberrazioni del terzo ordine per calcolare le aberrazioni del quinto ordine. In primo luogo tutti gli sviluppi in serie devono essere estesi all'ordine immediatamente successivo, poi andranno riscritti ordinandoli nelle potenze dei dati iniziali. Il primo passo è dunque

$$X = X_1 + X_3 + X_5 \dots, \quad (5.68a)$$

$$Y = Y_1 + Y_3 + Y_5 \dots, \quad (5.68b)$$

$$P = P_1 + P_3 + P_5 \dots, \quad (5.68c)$$

$$Q = Q_1 + Q_3 + Q_5 \dots \quad (5.68d)$$

$$H(U, V, z) = H_0 + H_U U + H_V V + \frac{1}{2} (H_{U^2} U^2 + H_{UV} UV + H_{V^2} V^2) + \quad (5.69)$$

$$+ \frac{1}{6} (H_{U^3} U^3 + H_{U^2 V} U^2 V + H_{UV^2} UV^2 + H_{V^3} V^3) \dots \quad (5.70)$$

Sostituendo queste relazioni nelle equazioni di Hamilton, posto  $U_4 = X_1X_3 + Y_1Y_3$ ,  $V_4 = P_1P_3 + Q_1Q_3$  e raggruppando i polinomi di grado uguale si ha

$$\dot{X}_1 = 2H_V P_1, \quad (5.71)$$

$$\dot{X}_3 = 2H_V P_3 + 2(H_{UV}U_2 + H_{V^2}V_2) P_1, \quad (5.72)$$

$$\begin{aligned} \dot{X}_5 = 2H_V P_5 + (H_{UV}U_2 + H_{V^2}V_2) P_3 + \\ 2 \left( H_{UV}U_4 + H_{V^2}V_4 + \frac{1}{2}H_{U^2V}U_2^2 + H_{UV^2}U_2V_2 + \frac{1}{2}H_{V^3}V_2^2 \right) P_1, \end{aligned} \quad (5.73)$$

per i momenti si ha invece

$$\dot{P}_1 = -2H_U X_1, \quad (5.74a)$$

$$\dot{P}_3 = -2H_U X_3 - 2(H_{U^2}U_2 + H_{UV}V_2) X_1, \quad (5.74b)$$

$$\begin{aligned} \dot{P}_5 = -2H_U X_5 - 2(H_{UV}U_2 + H_{V^2}V_2) X_3 - \\ 2 \left( H_{UV}V_4 + H_{U^2}U_4 + H_{U^2V}U_2V + \frac{1}{2}H_{UV^2}V_2^2 + \frac{1}{2}H_{U^3}U_2^2 \right) X_1. \end{aligned} \quad (5.74c)$$

Le prime due coppie di relazioni sono uguali a quelle trovate per il calcolo delle aberrazioni del terzo ordine, le loro soluzioni sono quindi note. Va ora affrontato il compito di calcolare quelle del quinto ordine. Dalle 5.25 e dalle equazioni per i raggi parassiali, imponendo che anche le aberrazioni del quinto ordine soddisfino condizioni al contorno simili alle 5.26, ossia

$$X_5(z_o) = Y_5(z_o) = X_5(z_e) = Y_5(z_e) = 0, \quad (5.75)$$

si può ricavare, così come è stato fatto per le aberrazioni del terzo ordine,

$$\begin{aligned} \frac{d}{dz} (X_5 g(z) - k(z) P_5) = 2(H_{UV}U_2 + H_{V^2}V_2) P_3 f(z) + \\ 2 \left( H_{UV}U_4 + H_{V^2}V_4 + \frac{1}{2}H_{U^2V}U_2^2 + H_{UV^2}U_2V_2 + \frac{1}{2}H_{V^3}V_2^2 \right) P_1 f(z) + \\ 2(H_{UV}U_2 + H_{V^2}V_2) X_3 k(z) + \\ 2 \left( H_{UV}V_4 + H_{U^2}U_4 + H_{U^2V}U_2V + \frac{1}{2}H_{UV^2}V_2^2 + \frac{1}{2}H_{U^3}U_2^2 \right) X_1 k(z), \end{aligned} \quad (5.76)$$

$$\begin{aligned}
X_5 = & \frac{2M}{\Gamma} \int_{z_0}^{z'} (H_{UV}U_2 + H_{V^2}V_2) P_3 f(z) + \\
& \left( H_{UV}U_4 + H_{V^2}V_4 + \frac{1}{2}H_{U^2V}U_2^2 + H_{UV^2}U_2V_2 + \frac{1}{2}H_{V^3}V_2^2 \right) P_1 f(z) + \\
& (H_{UV}U_2 + H_{V^2}V_2) X_3 k(z) + \\
& \left( H_{UV}V_4 + H_{U^2}U_4 + H_{U^2V}U_2V_2 + \frac{1}{2}H_{UV^2}V_2^2 + \frac{1}{2}H_{U^3}U_2^2 \right) X_1 k(z) dz.
\end{aligned} \tag{5.77}$$

Si evince chiaramente che questo procedimento può essere esteso a qualunque ordine.

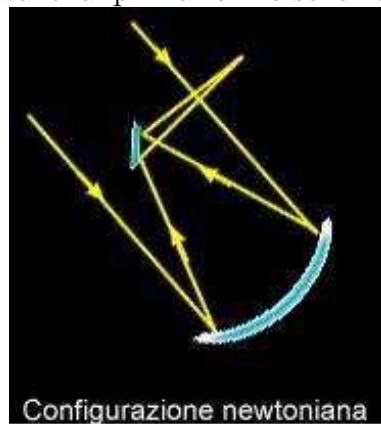


# Capitolo 6

## Esempi di applicazioni della teoria

### 6.1 Il telescopio Newtoniano

Il primo esemplare di questo tipo di telescopio fu costruito da Newton nel 1668 (un altro esemplare, tuttora conservato, fu presentato alla Royal Society nel 1672). Il telescopio Newtoniano è composto da un grosso specchio posto sul fondo dello strumento detto primario, e da uno specchio secondario, molto più piccolo posto davanti al primario. Lo schema è riportato in figura.



La grande semplicità di questo schema, con una sola superficie ottica, e la sua veneranda età, non devono far pensare che sia una soluzione obsoleta. Si tratta del telescopio preferito dagli astrofili, anche per motivi non strettamente legati alla resa ottica: l'economicità e la maneggevolezza. Come si può osservare dalla figura il compito dello specchio secondario è quello di deviare

i raggi emergenti dallo specchio primario in modo da permettere un' agevole osservazione delle immagini. Lo specchio secondario è quindi uno specchio piano, inclinato di  $45^\circ$  rispetto all'asse ottico del primario e di piccole dimensioni. Le prime due caratteristiche del secondario servono a non introdurre differenze di cammino ottico tra i diversi raggi che provengono dal primario e che convergerebbero nel fuoco dello strumento, le piccole dimensioni sono necessarie per non oscurare in maniera significativa il campo visivo dello specchio primario. Per avere un' immagine stigmatica la forma del primario deve essere parabolica. Infatti i raggi paralleli all' asse ottico, che coincide con l' asse del paraboloide, verranno tutti deviati verso il fuoco della paraboloide ove si forma l' immagine. Il fatto che le immagini extrassiali formate da uno specchio parabolico siano molte soggette a coma, insieme alle grandi aperture relative impiegate, rende il campo di utilizzo di questo strumento decisamente limitato. Sfruttando la teoria delle aberrazioni fin qui sviluppata si verificherà che forma parabolica dello specchio è quella che offre la migliore configurazione. Si fissi un sistema di riferimento levogiro, con l' origine nel vertice della superficie ottica e l' asse  $z$  coincidente con l' asse della superficie, lo specchio rivolge la concavità nel verso negativo delle  $z$ , e la luce viaggia da sinistra verso destra. L' oggetto che si vuole osservare è molto distante dal vertice della superficie, e sia  $\delta_1$  questa distanza in modo da trattare in seguito questo termine infinito con un passaggio al limite. L' immagine si forma nel fuoco dello strumento che ha coordinate  $(0, 0, -R_c/2)$ , dove  $-R_c$  è il raggio di curvatura della superficie nel vertice. Invece delle condizioni al contorno consuete conviene utilizzare le seguenti

$$h_0 = \delta_1/\mu, \quad h_2 = 0, \quad k_0 = 0, \quad k_2 = 1. \quad (6.1)$$

Si è visto nel paragrafo 5.4 che questa scelta non influenza i coefficienti di aberrazione, ma si scarica sulle potenze di  $x_0, x_e$  che sono la base del polinomio di aberrazione, l' introduzione di  $\mu$  serve solo per motivi dimensionali, ad esempio se tutte le lunghezze sono espresse in metri si può porre  $\mu = 1m$ . Si può ora procedere al calcolo degli  $h_i, k_i, f_i, g_i$ . Utilizzando le formule ricorsive si ha

$$\begin{aligned} h_0 &= \delta_1/\mu & g_1 &= -1/\mu & h_2 &= 0 & g_3 &= -1/\mu \\ k_0 &= 0 & f_1 &= 1/\delta_1 & k_2 &= 1 & f_3 &= 1/\delta_1 - \frac{2}{R_c} \end{aligned} \quad (6.2)$$

e si ottiene  $\Gamma = 1/\mu$ . Procedendo ora col calcolo dei coefficienti e andando al limite per  $\delta_1 \rightarrow \infty$ , si ottiene

$$S = \frac{2}{R_c^3}, \quad A_s = 2\frac{K}{R_c^3}, \quad (6.3)$$

$$\omega = \frac{R_c}{\mu}, \quad P = -\frac{2}{R_c} \quad (6.4)$$

e le aberrazioni sono date da

$$A = -\frac{(1+K)}{R_c^3} x_e^3, \quad (6.5)$$

$$B = -\frac{3}{R_c^2} \tan \frac{\alpha}{2} x_e^2 \mu \quad (6.6)$$

$$C = \left( -\frac{3}{R_c} + \frac{1}{R_c} \right) \tilde{x}_0^2 x_e = -\frac{2}{R_c} \tan^2 \frac{\alpha}{2} x_e \mu^2 \quad (6.7)$$

$$D = -C \quad (6.8)$$

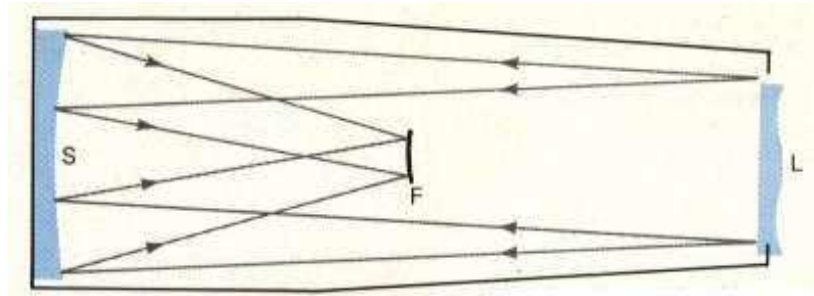
$$E = 0 \quad (6.9)$$

dove  $\alpha$  è l'angolo sotto il quale si vede l'oggetto e  $\tan \frac{\alpha}{2} = \frac{x_0}{\delta_1}$ . Quindi l'unico coefficiente che mostra una dipendenza, attraverso  $K$ , dalla forma del primario è l'aberrazione sferica. Basta porre  $K = -1$  per renderlo nullo e dedurre che la forma migliore per lo specchio primario è un paraboloide di rotazione. Purtroppo non si possono minimizzare le altre aberrazioni se non facendo crescere a dismisura il raggio della superficie, ma il risultato così ottenuto è già degno di rilievo tenendo presente che si sta utilizzando una sola superficie ottica!

## 6.2 La camera di Schmidt

Attorno al 1930 allo schema Newtoniano furono apportate importanti modifiche per permettere la produzione di immagini fotografiche con grossi sistemi riflettori. A differenza di uno specchio parabolico che dà un'immagine perfetta per i raggi assiali e immagini afflitte da coma a brevi distanze dall'asse, uno specchio sferico darà un'immagine uniforme su un'ampia superficie sferica concentrica ad esso, ma afflitta da una grossa aberrazione sferica. Schmidt introdusse all'ingresso dello strumento una sottile lastra, detta lastra correttrice, posta nel centro di curvatura dello specchio, con una faccia piana ed l'altra lavorata con un profilo asferico del quarto ordine. Lo scopo della lastra è correggere il fascio di raggi entranti in modo da compensare esattamente l'aberrazione sferica introdotta dallo specchio sferico. Si può facilmente derivare un'espressione per il profilo della lastra correttrice della camera di Schmidt. Si calcoleranno le aberrazioni prodotte da una configurazione di questo tipo nell'approssimazione in cui lo spessore della lastra sia trascurabile rispetto alle lunghezze in gioco, in modo da determinare i coefficienti che caratterizzano il profilo asferico e quindi la forma della lastra. Sia

$$g(z) = R_c - \frac{\beta}{4} (x^2 + y^2)^2 \quad (6.10)$$



L= lastra F= fuoco S= specchio

l' equazione del profilo della lastra, dove  $R_c$  è il raggio di curvatura dello specchio e  $\beta$  il parametro incognito che si vuole determinare. Si è supposto che il raggio di curvatura  $\rho$  della lastra sia infinito sull' asse ottico. I dati dei raggi assiale e di campo, necessari per condurre l' analisi, sono

$$\begin{aligned} h_0 = \delta_1/\mu & \quad g_1 = -1/\mu & \quad h_2 = 0 & \quad g_3 = -1/\mu \\ k_0 = 0 & \quad f_1 = 1/\mu & \quad k_2 = 1 & \quad f_3 = 1/\delta_1 \end{aligned} \quad (6.11)$$

$$\begin{aligned} h_4 = 0 & \quad g_5 = -1/\mu & \quad h_6 = -\frac{R_c}{\mu} & \quad g_7 = 1/\mu \\ k_4 = 1 & \quad f_5 = \frac{1}{\delta_1} - \frac{(N-1)}{\rho} & \quad k_6 = 1 + f_5 R_c & \quad f_7 = -\frac{2}{R_c} - f_5, \end{aligned} \quad (6.12)$$

dove  $N$  è l' indice di rifrazione della lastra,  $\delta_1$  è la distanza dello spazio oggetto dalla pupilla d' entrata e  $\mu$  è stato introdotto per ragioni dimensionali, anche in questo caso si può porre, se le lunghezze sono espresse in  $m$ ,  $\mu = 1m$ . Procedendo al calcolo dei coefficienti di aberrazione sferica per la lastra correttrice e per lo specchio sferico si ha

$$A_2 = \beta (N - 1) \quad (\text{lastra correttrice}), \quad (6.13)$$

$$A_6 = \frac{-2}{R_c^3} \quad (\text{specchio sferico}). \quad (6.14)$$

Sommando i due coefficienti, ed imponendo che l' aberrazione sferica risultante sia nulla si ricava per  $\beta$  il seguente valore

$$\beta = \frac{2}{R_c^3 (N - 1)}. \quad (6.15)$$

# Capitolo 7

## Conclusioni

I risultati ottenuti in questo lavoro possono aprire alcuni scenari e campi d'indagine.

I due nuovi invarianti ottici  $L_1$ ,  $L_2$ , insieme all'invariante di Lagrange, potrebbero semplificare l'analisi di sistemi ottici composti esclusivamente da superfici sferiche (la maggioranza assoluta degli obiettivi fotografici presenta proprio questa caratteristica). In particolare potrebbe essere possibile scrivere una delle funzioni principali in funzione di  $\mathbf{L}^2 = (L_1^2 + L_2^2 + L_3^2)$  e di uno solo degli invarianti di rotazione. Se tale circostanza fosse verificata, alcune delle aberrazioni potrebbero essere dipendenti tra loro.

Nel capitolo cinque sono date le formule di partenza per estendere l'approccio di Luneburg al quinto ordine. La speranza è che le formule ricavate da questo metodo risultino più maneggevoli di quelle disponibili. Inoltre, questo metodo non necessita di complicate trasformazioni di variabili, nè di un teorema di addizione.

Infine, grazie alle formule di trasformazione introdotte alla fine del secondo capitolo si può dimostrare che il raggio uscente da un sistema ottico è una funzione continua del dato iniziale. La teoria delle aberrazioni potrebbe essere interpretata come uno sviluppo in serie in un intorno di una posizione di equilibrio stabile per le equazioni di Hamilton, l'asse ottico.

# Bibliografia

- [1] A. Romano Meccanica Razionale, Liguori Editore 1991
- [2] R.K. Luneburg Mathematical Theory of Optics, University of California Press 1965
- [3] K. Schwarzschild Untersuchungen zur geometrischen, Optik I 1905
- [4] K. Schwarzschild Untersuchungen zur geometrischen, Optik II 1905
- [5] M. Born, E.Wolf Principles of Optics, 1970 Pergamon Press
- [6] A. Romano Geometrical Optics, Theory and Applications in corso di redazione
- [7] H. A. Buchdahl An Introduction to Hamiltonian Optics, Cambridge University Press
- [8] W. T. Welford Geometrical Optics, North Holland Publishing Company Amsterdam
- [9] Herzberger Modern Geometrical Optics, Interscience Publishers Inc New York
- [10] Onofri Destri Istituzioni di Fisica Teorica, Nuova Italia Scientifica
- [11] Giulio Starita Esercizi di Meccanica Razionale, Liguori Editore 1991
- [12] C. Miranda Lezioni di Analisi Matematica, Liguori Editore 1965
- [13] D. Lynden Bell Exact Optics: A unification of optical telescope design arXiv:physics/0203082v1 2002
- [14] Warren J. Smith, Modern optical engineering, 3rd ed., McGraw-Hill, 2000